

## 2. Características de la muestra y sistema de inventario

### 2.1. Confección de la base de datos. Variables y criterios.

El análisis de los restos humanos de la Cova de Es Càrritx ha estado determinado desde un principio por la desarticulación generalizada que presentaba la necrópolis. Al carecer del tipo de información integrada que facilitan los esqueletos articulados, individuo a individuo, se ha tenido que hacer un gran esfuerzo por maximizar los datos que aporta cada tipo de hueso/diente acerca de la persona a la que perteneció en vida. Así, junto al inventario pormenorizado de cada fragmento, se ha realizado un intenso trabajo de remontaje conjugando la información biológica y la distribución espacial de los restos humanos hallados en cada unidad (cuadrícula) y nivel de excavación.

Como ya se mencionó en el capítulo anterior, el espacio que entre c. 1450-1400 y 850-800 cal ANE fue acondicionado y utilizado como cementerio se concentra en la Sala 1 de la cueva. Los restos humanos de las salas interiores 3 y 6 corresponden a una época más antigua y su presencia obedece a prácticas rituales de carácter propiciatorio/adivinatorio, no estrictamente funerarias (véase Lull *et alii* 1999a: 157-169). Por otra parte, en la zona de la entrada se han identificado algunas inhumaciones secundarias de época posterior al uso de la Sala 1 como cementerio, coincidiendo con el colapso del escarpe superior del barranco que determinó el progresivo cierre del acceso a la cueva. El análisis estratigráfico de este sector y las muestras óseas datadas por C14 así lo confirman (Lull *et alii* 1999a: 366-367), de forma que es posible que el estrato II de esta zona presente una mezcla de restos de ambas épocas.

Para evitar posibles distorsiones en la interpretación, el análisis que se presenta en este trabajo sólo contempla los restos procedentes de la Sala 1 hallados en el Osario (S1), en la Fosa (F) y en el nivel basal, directamente sobre el empedrado, del sector Entrada (E). El resto de las zonas excavadas no deben considerarse espacios funerarios estrictos. Por el contrario, la presencia de restos humanos en estos lugares ha de valorarse en función de procesos tafonómicos de desarticulación y de acontecimientos ajenos al propio ritual funerario.

El inventario de los restos humanos asciende a casi treinta y cinco mil huesos y dientes, completos y fragmentados, que han sido objeto de una descripción pormenorizada y sistemática. Sólo se ha incluido en el inventario aquellos restos que podían asignarse a una categoría determinada, mientras que las astillas de estructuras óseas no identificables han sido pesadas por grupos de procedencia (de un mismo nivel y sector de la cuadrícula) con el fin de matizar la información sobre volumen y cantidad de restos humanos presentes en cada sector del cementerio (véase *infra*). A este respecto, cabe señalar que el volumen de astillas,

pese a ser considerable, no debe interpretarse como un indicador del estado de conservación de la muestra. Pese a las fracturas y erosiones lógicas en un recinto accesible durante mucho tiempo, el estado que presentan los materiales es francamente bueno, especialmente en lo que respecta a las frágiles elementos óseos de niñas y niños de corta edad.

Dado que el material antropológico consiste principalmente en elementos inconexos, cada hueso/diente cuenta con un número de inventario y una entrada individualizada en la base de datos. En realidad, cabe hablar de tres bases de datos según la categoría del material analizado: hueso del cráneo, hueso del esqueleto poscraneal y diente. Cada número de inventario comienza con la letra X (que designa el nombre del yacimiento), corresponde a un hueso o diente y en su sigla se integra un dígito que identifica el sector del yacimiento (1=Osario; F=Fosa; E=Entrada). Cuando este número está repetido significa que los huesos/dientes por él designados corresponden a un mismo individuo (es el caso de los dientes conservados en los alvéolos de un maxilar, o los huesos que componen una calota). Por otra parte, los casos en que diferentes números de inventario corresponden a un único individuo se acompañan de un código alfanumérico diferente que comienza con las letras "AR".

El diseño general de la base de datos sigue los principios y criterios establecidos por Buikstra y Ubelaker (1994) para el análisis de restos humanos, comprende un máximo de cincuenta campos y ha sido configurado mediante el programa StatView 5.0 en un procesador Apple Macintosh. A continuación se describen por grupos los campos/variables informativas y los códigos empleados en su definición:

### **Contexto**

Ubicación específica en el contexto del yacimiento. Comprende seis campos que designan el número de inventario, el sector, el año de la campaña de excavación, la cuadrícula, el nivel y la cota.

### **Tipo**

Para los huesos se han establecido dos campos de inventario que designan categorías genéricas ("Hueso A") y específicas ("Hueso B"). Los huesos craneales son todos del tipo "A", mientras que en el poscráneo se encuentran de los dos tipos. Las categorías son las siguientes:

#### 1. Huesos craneales:

##### **Hueso A**

Frontal

Parietal

Occipital

Temporal

Esfenoides

Cigomático

Max.c/d (maxilar con diente/s)

Mand.c/d (mandíbula con diente/s)

Max.s/d (maxilar sin diente/s)  
 Mand.s/d (mandíbula sin diente/s)  
 Palatino  
 Nasal  
 Lacrimal  
 Cornete  
 Etmoides  
 Vomer  
 Hioides  
 Cart.osif. (cartílago tiroides osificado)  
 Frag.cráneosp (fragmento craneal indeterminado)

2. Huesos poscraneales:

<b>Hueso A</b>	<b>Hueso B</b>
Clavícula	
Escápula	
Esternón	Manubrio
	Cuerpo
	Xifoides
Costilla	Costilla 1
	Costilla 2/10
	Costilla 11/12
	Costillasp (costilla indeterminada)
Vértebra	C1
	C2
	C3-C6
	C7
	Cervicalsp (cervical indeterminada)
	T1
	T2-T9
	T10
	T11
	T12
	T10-T12
	Torácicasp (torácica indeterminada)
	L1/L4
	L5
	Lumbarasp (lumbar indeterminada)
Coxal	Ilión
	Isquion
	Pubis
Sacro	
Cóccix	
Húmero	
Cúbito	
Radio	
Fémur	
Rótula	
Tibia	
Peroné	
Carpiano	EscafoidesM (escafoides de la mano)
	Semilunar
	Piramidal

	Pisiforme
	Trapecio
	Trapezoides
	H.Grande (hueso grande o <i>capitatum</i> )
	Ganchoso
Metacarpiano	Carpianosp (carpiano indeterminado)
	MC1
	MC2
	MC3
	MC4
	MC5
	MCsp (metacarpiano indeterminado)
FalangeM (falange de la mano)	Falange (falange proximal)
	Falangina (falange medial)
	Falangeta (falange distal)
Tarsiano	Calcáneo
	Astrágalo
	Cuboides
	EscafoidesP (escafoides del pie)
	Cuña 1
	Cuña 2
	Cuña 3
	Tarsianosp (tarsiano indeterminado)
Metatarsiano	MT1
	MT2
	MT3
	MT4
	MT5
	MTsp (metatarsiano indeterminado)
FalangeP (falange del pie)	Falange (falange proximal)
	Falangina (falange medial)
	Falangeta (falange distal)
Frag.poscráneosp (fragmento poscraneal indeterminado)	

Para los dientes se han diseñado tres campos de inventario que responden segmentadamente a la información de “tipo” según su posición y características. Los campos y sus categorías correspondientes son las siguientes:

X/x (dentición permanente/caduca)	Perm (permanente)
	Leche (caduco)
	Indet (indeterminado)
Sup/Inf (posición)	Sup (diente maxilar superior)
	Inf (diente mandibular)
	Indet (indeterminado)
Tipo	I1 (incisivo central)
	I2 (incisivo lateral)
	Isp (incisivo indeterminado)
	C (canino)
	P1 (primer premolar)
	P2 (segundo premolar)
	Psp (premolar indeterminado)
	M1 (primer molar)

	M2 (segundo molar)
	M3 (tercer molar)
	Msp (molar indeterminado)
	Indet (diente indeterminado)
In Situ	Si (diente conservado en su respectivo alvéolo)
	No (diente suelto)

## Conservación

Existen seis campos de inventario que responden de forma complementaria aunque independiente a diferentes aspectos sobre la conservación del hueso o diente considerado:

1.) “Fragmentación”.- Este campo indica el grado de conservación. Las categorías que lo definen son las siguientes:

A	Conservado en un 100%
B	Conservado en un 75%
C	Conservado en un 50%
D	Conservado en un 25%

2.) “Conservación”.- Indica si un hueso/diente está completo o incompleto. Las categorías que lo definen son las siguientes:

E	Completo y conservado de una pieza (entero)
F	Fragmentado, remontado o conservado en más de un fragmento
I	Incompleto

La combinación de estos dos campos de inventario resulta muy útil para cualificar y cuantificar el trabajo de remontaje. Así, por ejemplo, cuando un hueso está inventariado como “A” y “F” sabemos que está completo pero remontado, y se diferencia de aquéllos que al definirse como “A” y “E” consisten en huesos/dientes que se encontraron completos.

3.) “Frac.Exc”.- Bajo esta abreviatura se especifica si las fracturas detectadas en los huesos “F” e “I” se produjeron durante los trabajos de campo (“Sí”) o si se trata de fracturas antiguas.

4.) “Segmento”.- Detalla la porción de hueso conservada. Cuando el hueso está completo este campo aparece en blanco excepto si se trata de diáfisis y epífisis inmaduras, en cuyo caso así se especifica.

5.) “Lateralidad”.- Indica la lateralidad teniendo en cuenta la parte conservada. Las categorías empleadas son las siguientes:

Iz	Hueso/diente izquierdo o fragmento del lado izquierdo
D	Hueso/diente derecho o fragmento del lado derecho
C	Hueso central o fragmento central
I+D	Hueso izquierdo y derecho o fragmentos de ambos lados
C+I	Fragmento del lado izquierdo y del centro
C+D	Fragmento del lado derecho y del centro

6.) “In Situ”.- Es exclusivo de los dientes e indica si aparecieron encajados en sus respectivos alvéolos (“Sí”) o si por el contrario se trata de piezas sueltas (“No”).

## Individualización

Dadas las características de la muestra, se han incluido tres campos de inventario que informan acerca de la pertenencia del hueso/diente considerado a un individuo concreto.

El primero de ellos (“NMI”), y más importante, determina si el fragmento considerado representa o no a un único individuo. En los criterios de selección de segmentos óseos para este cómputo he primado rasgos anatómicos de fácil identificación y resistencia a los procesos de fragmentación, así como superficies articulares cuya preservación resulta crucial a la hora de valorar un buen número de procesos patológicos. Otro factor a tener en cuenta es la lateralidad, ya que si ésta no puede determinarse la mera identificación del segmento seleccionado resulta inservible. A continuación se ofrece la relación completa para cada tipo de hueso/diente y su ilustración gráfica (fig. 2.1):

### 1.) Huesos del cráneo y dientes:

Frontal: glabella, sutura coronaria a la altura de bregma y 2/3 borde supraorbitario.

Parietal: confluencia suturas sagital-coronal a la altura de bregma y confluencia suturas sagital-lambdaidea a la altura de lambda.

Occipital: protuberancia occipital interna/externa, apófisis basilar y cóndilo.

Temporal: apófisis mastoides y 2/3 peñasco.

Esfenoides: 1/2 inferior ala mayor.

Cigomático: 1/2 superior.

Maxilar: espina anterior.

Palatino: 2/3 hueso.

Nasal: 2/3 hueso.

Lacrimal: completo o ligeramente astillado.

Cornete: completo o ligeramente astillado.

Etmoides: cresta del gallo.

Vómer: cuerpo.

Mandíbula: espina mentoniana

Hioides: cuerpo y cuerno mayor.

Dientes permanentes: 2/3 de la corona.

Dientes caducos: corona completa.

### 2.) Huesos del poscráneo:

Clavícula: Extremo medial (para evitar información redundante en individuos inmaduros sólo se contabiliza la metáfisis) y acromial.

Escápula: Fosa glenoidea, coracoides y acromion (sólo se contabilizan las apófisis soldadas y las inmaduras; para evitar información redundante se excluyen las espinas y metáfisis inmaduras).

Esternón: 1/3 superior del manubrio y 1/3 inferior del apéndice xifoides.

Ilión: 2/3 acetábulo, demiface inferior de la superficie auricular y gran escotadura ciática.

Isquión: 2/3 tuberosidad isquiática (en individuos inmaduros sólo se contabilizan las metáfisis; para evitar información redundante se excluyen las tuberosidades no soldadas).

Pubis: 1/3 inferior sínfisis púbica.

Sacro: Asiento del promontorio en S1, Cuerpo de S5 y articulación sacro-ilíaca.

Cóccix: Primer cuerpo coccígeo (CC1).

Húmero: 2/3 epífisis/metáfisis proximal, epicóndilo medial y 2/3 metáfisis distal (en individuos inmaduros sólo se contabilizan las metáfisis conservadas; para evitar información redundante se excluyen las epífisis no soldadas).

Cúbito: Articulación proximal cubito-radial y 2/3 epífisis/metáfisis distal (en individuos inmaduros sólo se contabilizan las metáfisis distales conservadas; para evitar información redundante se excluyen las epífisis no soldadas).

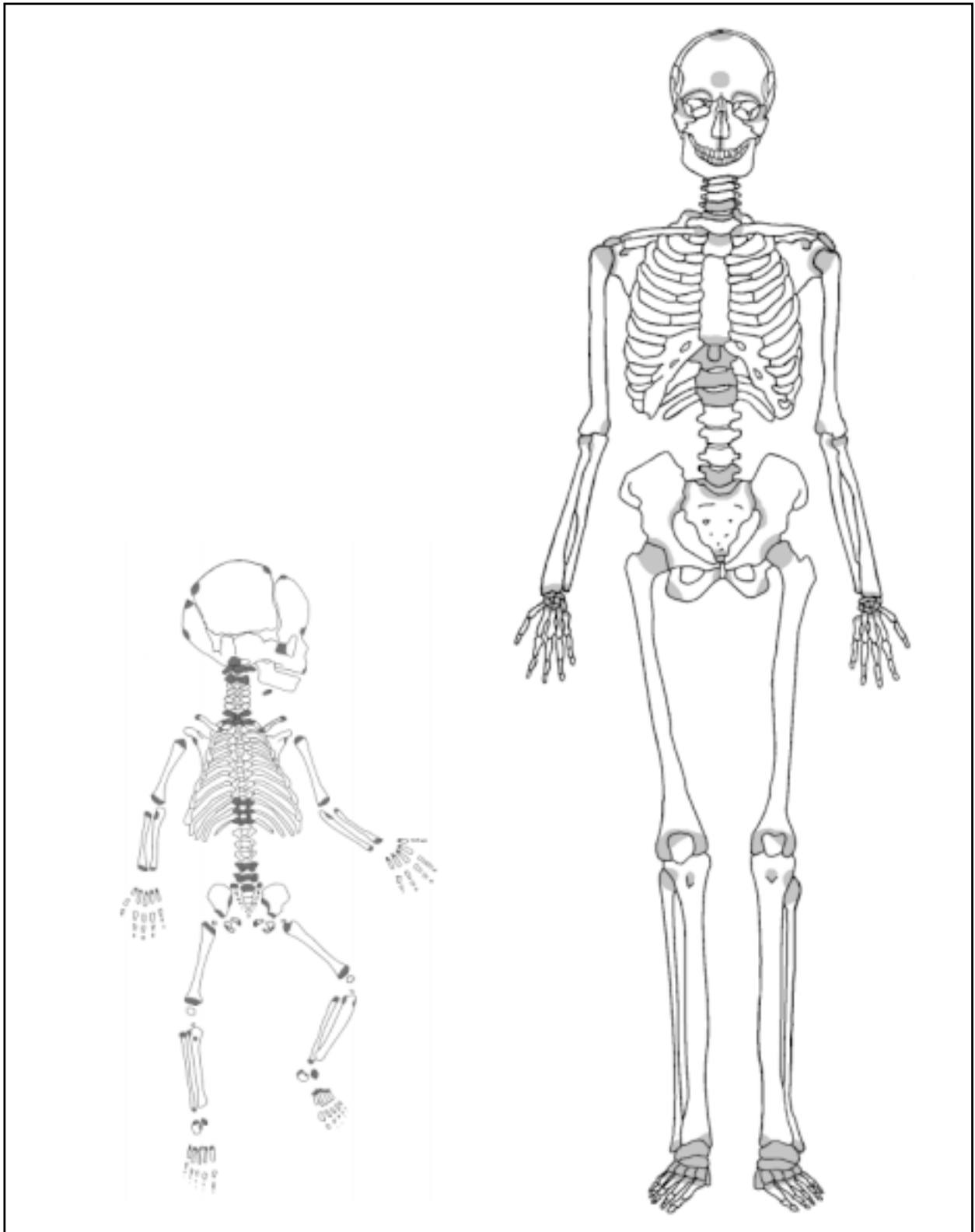


Figura 2.1.a. Segmentos óseos del cráneo y poscráneo utilizados en el cálculo del NMI.

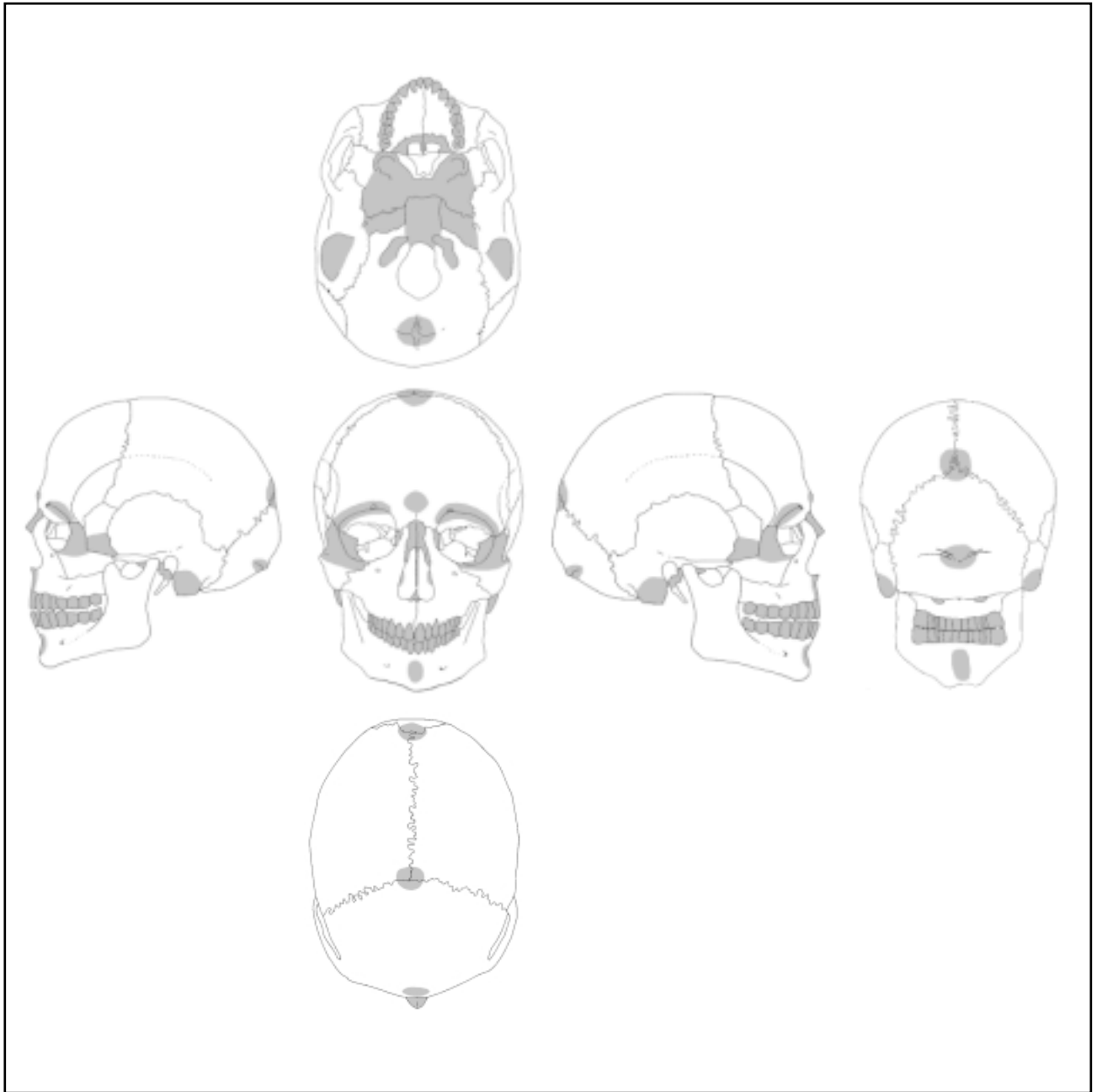


Figura 2.1.b. Detalle de los segmentos óseos craneales empleados en el cómputo del NMI.

Radio: 2/3 epífisis/metáfisis proximal y 2/3 epífisis/metáfisis distal (en individuos inmaduros sólo se contabilizan las metáfisis conservadas; para evitar información redundante se excluyen las epífisis no soldadas).

Fémur: 2/3 cabeza epífisis/metáfisis proximal y 2/3 epífisis/metáfisis distal (en individuos inmaduros sólo se contabilizan las metáfisis conservadas; para evitar información redundante se excluyen las epífisis no soldadas).

Rótula: 1/3 superolateral.

Tibia: Articulación proximal con peroné (tanto en epífisis soldadas como inmaduras), tuberosidad anterior (soldada o metáfisis), maléolo (tanto en epífisis soldadas como inmaduras).

Peroné: 2/3 epífisis/metáfisis proximal y 2/3 epífisis/metáfisis distal (en individuos inmaduros sólo se contabilizan las metáfisis conservadas; para evitar información redundante se excluyen las epífisis no soldadas).

Costilla1: Cabeza de la primera costilla.

Atlas: Masa lateral izquierda, masa lateral derecha, superficie articular para apófisis dentoides.

Axis: Apófisis dentoides, masa lateral izquierda y masa lateral derecha.

C7: 2/3 Cuerpo, 2/3 arco izquierdo y 2/3 arco derecho.

T1: 2/3 Cuerpo, 2/3 arco izquierdo y 2/3 arco derecho.

T10: 2/3 Cuerpo, 2/3 arco izquierdo y 2/3 arco derecho.

T11: 2/3 Cuerpo, 2/3 arco izquierdo y 2/3 arco derecho.

T12: 2/3 Cuerpo, 2/3 arco izquierdo y 2/3 arco derecho.

L4: 2/3 Cuerpo, 2/3 arco izquierdo y 2/3 arco derecho.

L5: 2/3 Cuerpo, 2/3 arco izquierdo y 2/3 arco derecho.

Escafoides mano: Mitad medial

Semilunar: Completo o ligeramente astillado.

Piramidal: Completo o ligeramente astillado.

Pisiforme: Completo o ligeramente astillado.

Trapezio: Completo o ligeramente astillado.

Trapezoides: Completo o ligeramente astillado.

Hueso grande: Completo o ligeramente astillado.

Ganchoso: Completo o ligeramente astillado.

MC1: Epífisis/metáfisis proximal (en individuos inmaduros sólo se contabilizan las metáfisis conservadas; para evitar información redundante se excluyen las epífisis no soldadas).

MC2: Segmento proximal.

MC3: Segmento proximal.

MC4: Segmento proximal.

MC5): Segmento proximal.

Calcáneo: articulación medial astrágalo (sustentaculum talii) y epífisis/metáfisis posterior (en individuos inmaduros sólo se contabilizan las metáfisis conservadas; para evitar información redundante se excluyen las epífisis no soldadas).

Astrágalo: 2/3 cuerpo.

Cuboides: 2/3 hueso.

Escafoides pie: 2/3 hueso.

Cuboides: 2/3 hueso.

Cuña1: 2/3 hueso.

Cuña2: 2/3 hueso.

Cuña3: 2/3 hueso.

MT1: Epífisis/metáfisis proximal (en individuos inmaduros sólo se contabilizan las metáfisis conservadas; para evitar información redundante se excluyen las epífisis no soldadas).

MT2: Segmento proximal.

MT3): Segmento proximal.

MT4: Segmento proximal.

MT5: Segmento proximal.

Los otros dos campos aluden al proceso de remontaje. El identificado con la abreviatura “Art.con” indica la pertenencia del hueso/diente considerado a un grupo de huesos/dientes diferentes correspondientes a un mismo individuo. El denominado “Pega con” indica cuáles son los otros fragmentos del mismo tipo de hueso con el que se ha podido remontar la pieza que se está inventariando.

## Edad

La información sobre la edad que tenía la persona representada por cada hueso/diente inventariado en el momento de su muerte se resume en tres campos. El primero (“Edad 1”) comprende las siguientes categorías biológicas:

Feto	
Infans I	0-2 años
Infans II	3-12 años
Juvenil	13-19 años
Adulto/a J	20-35 años
Adulto/a M	36-50 años
Anciano/a	> 51 años
Indet.	Indeterminable
Infans sp	0-12 años (infantil indeterminado)
Subad.sp	0-19 años (subadulto indeterminado)
Juv./Ad.J	13-35 años (juvenil-adulto/a joven)
Ad.J/M	20-50 años (adulto/a joven-maduro)
Ad.M./Anc.	> 36 años (maduro/a-anciano/a)
Adulto/a sp	> 21 años (adulto/a indeterminado)

mientras que el segundo (“Edad 2”) permite especificar en años o meses la edad calculada. Finalmente, en el tercero (“CRIedad”) se señalan los criterios utilizados en la determinación de edad según los siguientes códigos:

DE	Fase de formación y desarrollo dental <sup>1</sup>
DO	Desarrollo óseo
FE	Fusión epifisaria y de centros de osificación primaria <sup>2</sup>
FS	Sinóstosis craneana <sup>3</sup>
ME	Métrica de huesos largos en subadultos <sup>4</sup>
SP	Sínfisis púbica <sup>5</sup>
SA	Superficie auricular <sup>6</sup>

## Sexo

El sexo del hueso inventariado (“Sexo”) se designa mediante los códigos siguientes:

Hombre	Sexo masculino
--------	----------------

<sup>1</sup> Según Thoma y Goldman (1960: 21) y Buikstra y Ubelaker (1994:49-53).

<sup>2</sup> Según Buikstra y Ubelaker (1994: 40-43).

<sup>3</sup> Según el método del *composite score* basado en el trabajo de Meindl y Lovejoy (1985) y propuesto en Buikstra y Ubelaker (1994: 40-43).

<sup>4</sup> Según Ubelaker (1984: tabla 5).

<sup>5</sup> Según los tradicionales métodos de Todd y Scuchey-Brooks (en Buikstra y Ubelaker, 1994: 21-24)

<sup>6</sup> Según el método de Lovejoy (en Buikstra y Ubelaker, 1994: 24-32).

¿H?	Sexo probablemente masculino
Mujer	Sexo femenino
¿F?	Sexo probablemente femenino
Ind	Alofiso

Los criterios empleados en la determinación sexual se especifican en un segundo campo (“CRIsex”) mediante los códigos siguientes:

CCO	Protuberancia occipital externa <sup>7</sup>
CAM	Morfología de la apófisis mastoides
CRS	Morfología del reborde supraorbitario
CGL	Protuberancia a la altura de glabella
CEM	Morfología de la eminencia mentoniana
CAG	Morfología del ángulo gonial
FDT	Funciones discriminantes para la tibia <sup>8</sup>
MEA/FDA	Métrica del astrágalo <sup>9</sup> y funciones discriminantes
MEP/FDF	Métrica de la epífisis proximal del fémur y funciones discriminantes <sup>10</sup>
MEP	Métrica de la epífisis proximal del húmero <sup>11</sup>
PAV	Presencia de arco ventral <sup>12</sup>
PCS	Presencia de concavidad subpúbica
PIP	Estrangulamiento proximal de la rama isquio-púbica
PEC	Morfología de la gran escotadura ciática <sup>13</sup>
PSP	Presencia de surco preauricular <sup>14</sup>
PMS	Morfología del sacro <sup>15</sup>

### Modificaciones inducidas por agentes antrópicos

Dentro de este grupo se recopila información sobre la transformación de los restos óseos como consecuencia de la acción de los seres humanos. Las evidencias registradas aluden a procesos de trepanación, pigmentación, cortes *postmortem* y cremación.

Dada la importancia numérica de los huesos y dientes afectados por el fuego (“Inc.”) he establecido un campo de inventario con tres categorías (“Z./Inc.”) para designar la intensidad de la combustión en cuanto a la zona afectada:

T	Total
P	Parcial
I	Inapreciable/escasa

<sup>7</sup> En los criterios de determinación sexual basados en la morfología de la bóveda craneana y la mandíbula (CCO, CAM, CRS, CGL, CEM y CAG) he seguido las indicaciones de Buikstra y Ubelaker (1994: 19-21).

<sup>8</sup> Calculadas por Iscan y Miler-Shaivitz (1984).

<sup>9</sup> Según las funciones discriminantes de Steele propuestas en Steele y Bramblett (1988: 259-261).

<sup>10</sup> Según la métrica epifisaria y las funciones discriminantes calculadas por DiBennardo y Taylor e Iscan y Miler-Shaivitz (en Iscan y Kennedy 1986: tabla 6.24).

<sup>11</sup> Según las dimensiones de Dwright recogidas en Bass (1987).

<sup>12</sup> Para los tres rasgos de la región subpúbica (PAV, PCS y PIP) he empleado los criterios de dimorfismo sexual establecidos por Phenice (en Buikstra y Ubelaker, 1994: 16-17).

<sup>13</sup> Según propuesta de codificación de Buikstra y Ubelaker (1994: 18).

<sup>14</sup> Según propuesta de codificación de Buikstra y Ubelaker (1994: 18).

<sup>15</sup> Según Bass (1987).

y un tercer campo informativo con otras cinco categorías que permiten evaluar la intensidad de la combustión según la coloración:

A	Marrón con puntos negros (ahumados)
Q	Negro (quemados)
C	Gris, amarillo y blanco (calcinados)
Q+C	Negro+gris/amarillo/blanco (combinación de los dos anteriores)

### **Afecciones patológicas**

Para las patologías más comunes se han reservado campos de inventario específicos acerca de indicadores de estrés sistémico, salud dental, procesos infecciosos, artritis y lesiones traumáticas. El resto de las lesiones detectadas, como deformaciones congénitas o entesopatías, se incluyen en un campo genérico denominado “Otras patologías” (véase capítulos 7, 8 y 9).

### **Osteometría**

Los datos osteométricos se sintetizan en once campos que corresponden a las dimensiones más comunes (en mm), tanto de elementos inmaduros<sup>16</sup> como adultos<sup>17</sup> (véase capítulo 5).

### **Rasgos no-métricos o epigenéticos**

Se ha registrado sistemáticamente la presencia (“Sí”), ausencia (“No”) o imposibilidad de observación (No Obs.) de un total de treinta y un rasgos craneales/dentales y seis poscraneales<sup>18</sup> según su lateralidad específica (véase capítulo 6).

### **Asociación artefactual**

Bajo la denominación “Asoc.Obj” se incluye un campo de inventario informativo en el que se señala el contacto directo con artefactos arqueológicos según su número de inventario.

### **Tafonomía**

Bajo esta denominación se especifican alteraciones de pigmentación de carácter no intencional (como, por ejemplo debido al contacto con objetos de cobre/bronce), intensidad de la erosión/exfoliación del tejido compacto y evidencias de la acción de animales sobre los restos óseos.

---

<sup>16</sup> Según método de Fazekas y Kosa modificado y propuesto por Buikstra y Ubelaker (1994: 44-46).

<sup>17</sup> Según método de Martin, modificado por Moore-Jansen y propuesto por Buikstra y Ubelaker (1994: 69-84).

<sup>18</sup> Seleccionados por su especial relevancia y según recomendaciones de Buikstra y Ubelaker (1994: 85-94).

## 2.2. Representatividad por región anatómica y zona de la necrópolis.

Los datos brutos del inventario general de la necrópolis de Es Càrritx (véase tabla 2.1 y gráficos 2.1 - 2.3) permiten afirmar que el sector de la entrada (E), con un 0,5% del total de restos humanos de la colección, se trataba de una zona subsidiaria en cuanto a las prácticas de enterramiento.

<b>Inventario de los restos humanos de la necrópolis de Es Càrritx</b>				
<b>Sector</b>	<b>Poscráneo</b>	<b>Cráneo</b>	<b>Dientes</b>	<b>Total</b>
Osario (S1)	14829	1579	3184	19592
Fosa (F)	10675	1961	2266	14902
Entrada (E)	119	5	57	181
<b>Total necrópolis</b>	<b>25623</b>	<b>3545</b>	<b>5507</b>	<b>34675</b>

Tabla 2.1.

**Frecuencias de huesos del poscráneo por región anatómica.**

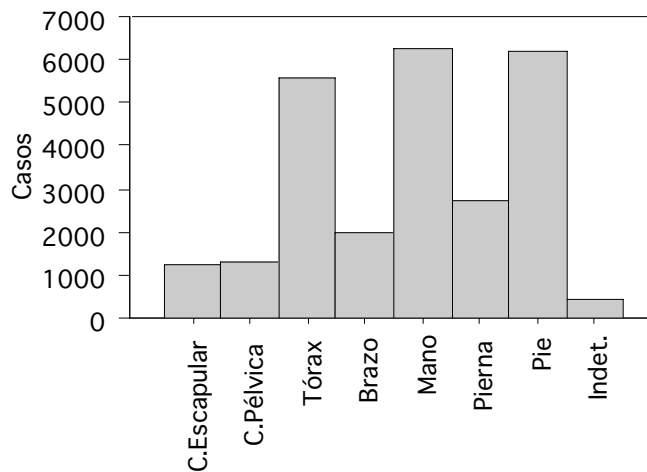


Gráfico 2.1.

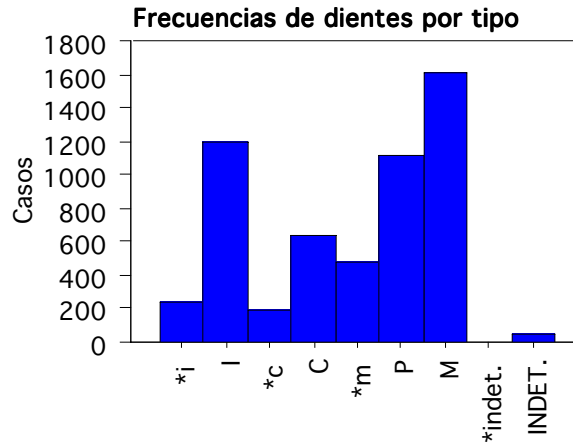


Gráfico 2.2

(Los tipos en minúscula y precedidos por un asterisco son los de la dentición caduca).

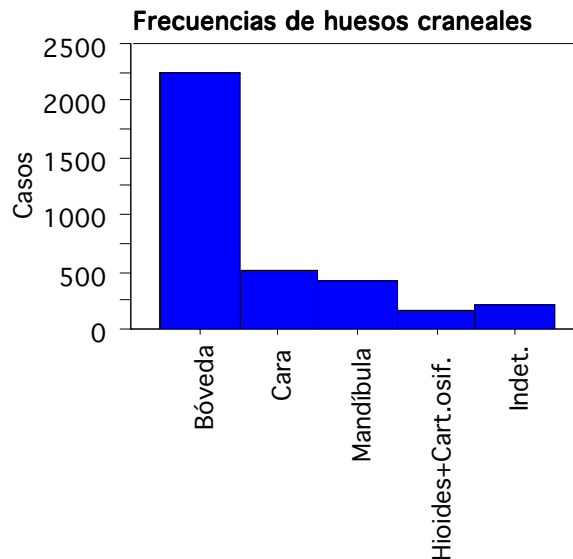


Gráfico 2.3

La hipótesis de que el lugar de inhumación preferente en el seno del cementerio era el piso superior u osario (S1) viene apoyada por el estudio de la distribución espacial de los materiales arqueológicos. La mayoría de los objetos que llevaban puestos las personas fallecidas aparecieron en zonas concentradas del osario, mientras que buena parte de los fragmentos de cerámica y metal hallados en la fosa se encontraban allí debido al desplome de parte del piso superior o como resultado del traslado de cráneos a esta zona en el contexto de las prácticas de inhumación secundaria iniciadas en torno al cambio de milenio.

Si nos atenemos a la cuantificación de los restos humanos según su distribución en estas dos zonas del cementerio podemos ver que la cantidad total de restos de S1 (56,5%) es superior a la de F (43,0%) en una proporción que se mantiene tanto en las cifras relativas de huesos del poscráneo (tabla 2.2.) como en las de dientes (tabla 2.3). Sin embargo, esta proporción se invierte al considerar el número de restos craneales (tabla 2.4), ligeramente superior en la fosa (55,3%) que en el osario (44,5%), como así cabría esperar cuando hay un sesgo en la distribución espacial de los restos humanos determinado en este caso por las prácticas de recolocación de ciertos elementos óseos. Al contrario de lo que podría parecer, esta conclusión es consistente con las cifras de preservación de dientes (superior en S1) dado que buena parte de los mismos se habría desprendido de sus respectivos alvéolos en el momento del traslado de cráneos a la fosa.

**Frequency Distribution for REGION ANATOMICA  
Split By: ZONA**

	Total Count	S1 Count	F Count	E Count
C.Escapular	1250	680	566	4
C.Pélvica	1290	662	624	4
Tórax	5565	3135	2408	22
Brazo	1976	941	1029	6
Mano	6246	3881	2334	31
Pierna	2713	1287	1418	8
Pie	6170	3865	2263	42
Indet.	413	378	33	2
Total	25623	14829	10675	119

Tabla 2.2

**Frequency Distribution for TIPO DIENTE  
Split By: ZONA**

	Total Count	S1 Count	F Count	E Count
* i	244	179	56	9
l	1196	714	467	15
* c	195	125	66	4
C	631	382	246	3
* m	482	284	193	5
P	1113	618	487	8
M	1603	853	738	12
*indet.	2	1	1	0
INDET.	41	28	12	1
Total	5507	3184	2266	57

Tabla 2.3

**Frequency Distribution for REGION ANATOMICA**  
**Split By: ZONA**

	Total Count	S1 Count	F Count	E Count
Bóveda	2241	962	1275	4
Cara	524	170	354	0
Mandíbula	414	201	212	1
Hioides+Cart.osif.	153	106	47	0
Indet.	213	140	73	0
Total	3545	1579	1961	5

Tabla 2.4

En las tablas que se ofrecen a continuación (tablas 2.5 a 2.7) se ofrece información cuantitativa y cualitativa sobre la representación de todas las categorías de restos humanos analizados en el conjunto del cementerio (“Total”) y en cada uno de sus sectores (“S1”, “F” y “E”). Las columnas con el subtítulo “n” indican el número de casos inventariados (tanto fragmentos como piezas completas) y las “NMI”, el número mínimo de individuos representados en cada sector (para un tratamiento detallado del cómputo del NMI véase el capítulo 4.1).

Representación de huesos craneales							
Tipo de hueso	Total	Sector es necrópolis					
		S1		F		E	
		n	NMI	n	NMI	n	NMI
Frontal	389	150	25	239	62	0	0
Parietal	876	417	20	458	65	1	1
Occipital	416	184	26	230	55	2	2
Temporal	440	173	42	266	88	1	1
Esfenoides	120	38	9	82	44	0	0
Cigomático	147	55	25	92	39	0	0
Max. c/d.	132	52	19	80	45	0	0
Max.s/d	70	33	2	37	7	0	0
Palatino	24	4	2	20	20	0	0
Nasal	44	8	4	36	29	0	0
Lacrimonal	22	4	2	18	16	0	0
Cornete	28	8	3	20	17	0	0
Etmoides	31	3	3	28	27	0	0
Vomer	26	3	3	23	23	0	0
Mand.c/d	174	71	40	102	55	1	1
Mand.s/d	240	130	16	110	15	0	0
Hioides	120	85	52	35	28	0	0
Cart.Osif.	33	21	9	12	1	0	0
Frag.cráneo sp	213	140	--	73	--	1	--

Tabla 2.5

En el conjunto de los huesos craneales (tabla 2.5) destaca en primer lugar una conservación diferencial muy evidente en lo que atañe al esplanocráneo. Esta circunstancia se debe a la fragilidad de los pequeños huesos faciales que, obviamente, sólo se preservan en condiciones favorables como las que presentaba la Fosa. En segundo lugar, cabe resaltar que solamente en tres casos se invierte la tendencia general y encontramos restos óseos que cuentan con un mayor número de efectivos y que representan a un número también mayor de individuos en la zona S1: mandíbulas sin dientes, hioides y cartílagos tiroideos osificados.

Representación de piezas dentarias							
Tipo de diente	Total n	Sector es necrópolis					
		S1		F		E	
		n	NMI	n	NMI	n	NMI
<b>Superiores (maxilar)</b>							
i	188	138	40	42	16	8	3
I	673	398	117	268	76	7	3
c	115	71	36	43	22	1	1
C	312	203	101	108	57	1	1
m	214	131	36	81	23	2	2
P	543	289	77	251	64	3	1
M	751	376	78	371	89	4	2
Indet (caduco)	0	0	--	0	--	0	--
INDET (perm.)	9	6	--	3	--	0	--
<b>Inferiores (mandíbula)</b>							
i	56	41	12	14	5	1	1
I	522	315	80	199	51	8	3
c	80	54	28	23	15	3	2
C	316	176	94	138	73	2	1
m	267	152	46	112	35	3	1
P	569	329	84	235	64	5	3
M	838	466	104	364	78	8	3
Indet (caduco)	1	0	--	1	--	0	--
INDET (perm.)	3	2	--	1	--	0	--
<b>Indeterminados</b>							
i	0	0	--	0	--	0	--
I	1	1	--	0	--	0	--
c	0	0	--	0	--	0	--
C	3	3	--	0	--	0	--
m	1	1	--	0	--	0	--
P	1	0	--	1	--	0	--
M	14	11	--	3	--	0	--
Indet (caduco)	1	1	--	0	--	0	--
INDET (perm.)	29	20	--	8	--	1	--

Tabla 2.6

Si bien las piezas dentarias (tabla 2.6) están globalmente peor representadas en F que en S1, cabe señalar ciertas diferencias que pueden ser significativas a la hora de entender el tipo de ritual funerario, especialmente la elevada presencia en la Fosa de molares superiores (hasta un 49,4% del total) que representan a un mayor número de individuos que los contabilizados para S1.

Representación de huesos poscraneales. I: tronco								
Hueso A	Hueso B	Total n	Sector es necrópolis					
			S1		F		E	
			n	NMI	n	NMI	n	NMI
Clavícula		418	222	67	194	68	2	2
Escápula		587	317	47	270	55	0	0
Esternón	Manubrio	85	39	33	45	33	1	1
	Cuerpo	151	96	--	54	--	1	--
	Xifoides	9	6	6	3	3	0	0
Pelvis	Ilión	464	210	36	253	48	1	1
	Isquion	238	103	38	134	51	1	1
	Pubis	210	85	35	125	31	0	0
	Sacro	376	205	39	169	49	2	1
	Cóccix	116	89	85	27	26	0	0
Costillas	Costilla 1	292	148	64	144	64	0	0
	Costilla 2/10	1843	1071	34	764	29	8	2
	Costilla 11/12	241	141	20	98	23	2	1
	Costilla sp	25	22	--	3	--	0	--
Vértebras	C1	244	129	49	114	45	1	1
	C2	183	118	73	64	32	1	1
	C3-C6	545	306	59	238	44	1	1
	C7	93	55	46	38	34	0	0
	Cervical sp	114	89	--	22	--	3	--
	T1	130	63	53	67	51	0	0
	T2-T9	802	417	36	381	31	4	1
	T10	60	23	21	37	23	0	0
	T11	58	31	26	27	22	0	0
	T12	66	39	35	27	23	0	0
	T10-T12	127	71	--	55	--	1	--
	Torácica sp	94	70	--	23	--	1	--
	L1-L4	355	144	23	211	29	0	0
	L5	73	40	28	33	22	0	0
	Lumbar sp	148	89	--	59	--	0	--
Vértebra sp	72	69	--	3	--	0	--	
Frag.poscráneo sp		413	378	--	33	--	2	--

Tabla 2.7a

Entre los huesos del tronco (figura 2.7a) destaca especialmente el caso de la cintura

pélvica, que cuenta con unas cifras parciales y un NMI por tipo de hueso superiores en F, con la única excepción del cóccix. También llama la atención que ciertos elementos, como la clavícula o la escápula, presentan un mayor número de fragmentos en S1 pero, sin embargo, representan a un número de individuos inferior al obtenido en F. Esta situación, como veremos más adelante, se explica en función de los intensos procesos de fragmentación que afectaron al piso superior de la Sala 1, determinando que la identificación de huesos tan quebradizos como los coxales o las escápulas sea muy inferior a la esperada.

Representación de huesos poscraneales. II: extremidades								
Hueso A	Hueso B	Total n	Sectores necrópolis					
			S1		F		E	
			n	NMI	n	NMI	n	NMI
Húmero		679	318	62	359	66	2	1
Cúbito		596	289	69	306	87	1	1
Radio		701	334	56	364	64	3	1
Carpianos	Escafoides	155	95	46	59	30	1	1
	Semilunar	166	108	55	58	32	0	0
	Piramidal	104	78	40	25	16	1	1
	Pisiforme	213	193	17	19	5	1	1
	Trapezio	147	99	51	48	26	0	0
	Trapezoides	128	86	43	42	30	0	0
	H.Grande	216	141	76	74	40	1	1
	Ganchoso	177	108	62	68	34	1	1
Carpiano sp	56	52	--	4	--	0	--	
Metacarpianos	MC1	287	166	86	121	57	0	0
	MC2	280	144	76	134	72	2	1
	MC3	268	141	74	126	72	1	1
	MC4	235	122	61	112	58	1	1
	MC5	223	126	67	96	53	1	1
	MC sp	270	189	--	80	--	1	--
Falanges mano	Falange	1358	758	72	592	55	8	1
	Falangina	1022	622	77	393	47	7	1
	Falangeta	941	653	67	283	29	5	1
Fémur		1041	475	39	564	76	2	1
Rótula		263	156	76	107	50	0	0
Tibia		769	383	41	381	55	5	1
Peroné		640	273	48	366	72	1	1
Tarsianos	Calcáneo	327	170	60	156	67	1	1
	Astrágalo	324	194	84	130	63	0	0
	Cuboides	250	147	73	103	59	0	0
	Escafoides	263	152	69	110	57	1	1
	Cuña 1	229	133	66	94	46	2	1
	Cuña 2	221	137	72	83	45	1	1
	Cuña 3	222	150	78	71	37	1	1
Tarsiano sp	19	16	--	3	--	0	--	
Metatarsianos	MT1	360	192	78	165	75	3	1
	MT2	281	156	78	125	66	0	0
	MT3	313	168	87	142	71	3	2
	MT4	300	151	76	148	75	1	1
	MT5	331	182	92	148	78	1	0
	MT sp	247	178	--	66	--	3	--
Falanges mano	Falange	1353	814	84	527	57	12	1
	Falangina	494	415	11	77	10	2	1
	Falangeta	636	510	70	115	33	11	22

Tabla 2.7b

Finalmente, si consideramos la representación del esqueleto apendicular en los diferentes sectores de la necrópolis (tabla 2.7b) encontramos una distribución bimodal. Así, puede observarse que en F las frecuencias relativas y, especialmente, los resultados de NMI de los huesos largos, son superiores a S1, tanto en lo que atañe a los brazos como a las piernas. Curiosamente, la única excepción es la rótula, que en S1 aparece en casi el 60% de los casos y representa a un número mucho mayor de individuos. También los huesos de manos y pies están mejor representados en S1, especialmente los más pequeños, y nuevamente la situación afecta por igual a ambas extremidades. Cabe inferir, por tanto, que estamos ante una situación no aleatoria, sino intencional, cuya explicación cabría buscarla en los procesos de inhumación secundaria. Efectivamente, en los trabajos de excavación de los cráneos que en su día se ubicaron cuidadosamente en la fosa pudimos constatar la presencia de numerosos huesos largos colocados de tal forma que estabilizaban y protegían la situación de las bóvedas, así como piedras del pavimento del piso superior que cumplían la misma función. El uso de huesos del brazo y de la pierna para esta tarea resultaría idóneo a tenor de sus dimensiones y de la facilidad de identificación y recolección en el conjunto de un depósito permanentemente revuelto. Por el contrario, la permanencia de los pequeños restos de manos, muñecas, rodillas, pies y tobillos en el piso superior de la Sala 1 refuerza la idea de que la exposición de los cadáveres se producía en este lugar y que la manipulación de los cuerpos acontecía cuando éstos ya estaban completamente esqueletizados.

### 2.3. Conservación y fragmentación

Pese a que el estado de conservación general de los restos humanos de la necrópolis de Es Càrritx puede calificarse de excelente, es cierto que también existe un acusado nivel de fragmentación. Las causas atienden a las propias características del ritual funerario, desde la ausencia de tumbas individuales hasta la continua deposición de cadáveres durante un dilatado periodo de tiempo, pasando por ciertos factores tafonómicos de carácter antrópico entre los cuales destaca la manipulación de los cuerpos en época prehistórica.

Las tablas (2.8, 2.9 y 2.10) que se presentan a continuación ilustran las frecuencias del estado de conservación y fragmentación para cada tipo de hueso y diente. En el primer caso, el que se refiere al estado de conservación en sentido estricto, se consideran elementos completos (E), incompletos (I) y remontados (F); mientras que en el segundo las cifras aluden a piezas conservadas en un 100% (A), 75% (B), 50% (C) y 25% (D). En las piezas dentarias (tabla 2.9) también se incluye información cuantitativa sobre la posición respecto al maxilar o la mandíbula (“In situ”) según se trate de dientes/muelas encajados en sus respectivos alvéolos (“Sí”) o sueltos (“No”).

Estado de conservación y fragmentación de huesos craneales								
Tipo de hueso	n	Conservación			Fragmentación			
		E	I	F	A	B	C	D
Frontal	389	0	187	202	18	35	33	303
Parietal	876	1	507	369	15	46	43	772
Occipital	416	39	200	177	70	54	45	247
Temporal	440	1	277	162	28	100	107	205
Esfenoides	120	1	58	61	9	24	29	58
Cigomático	147	16	47	84	59	35	35	18
Max. c/d.	132	8	49	75	32	41	18	41
Max.s/d	70	1	55	14	2	6	13	49
Palatino	24	0	0	24	22	2	0	0
Nasal	44	5	0	39	23	11	10	0
Lacrimal	22	0	0	2	19	2	1	0
Cornete	28	5	0	23	27	1	0	0
Etmoides	31	0	1	30	23	1	2	5
Vomer	26	0	2	24	19	4	1	2
Mand.c/d	174	6	80	88	9	26	77	62
Mand.s/d	240	0	196	44	0	1	13	226
Hioides	120	98	20	2	100	7	11	2
Cart.Osif.	33	4	26	3	5	3	8	17
Frag.cráneo sp	213	11	201	0	11	0	1	201
Total cráneo	3545	196 (5,5%)	1906 (53,8%)	1443 (40,7%)	491 (13,8%)	399 (11,2%)	447 (12,6%)	2208 (62,3%)

Tabla 2.8

Estado de conservación y fragmentación de piezas dentarias										
Superiores (maxilar)										
Tipo de diente	n	Conservación			In Situ		Fragmentación			
		E	I	F	Sí	No	A	B	C	D
i	188	173	14	1	1	187	174	12	2	0
I	673	562	79	32	74	599	591	52	26	4
c	115	108	5	2	5	110	110	2	3	0
C	312	232	58	22	32	280	249	29	23	11
m	214	159	35	20	83	131	178	24	11	1
P	543	351	132	60	88	455	405	71	51	16
M	751	405	226	120	193	558	521	110	89	31
Indet (caduco)	0	0	0	0	0	0	0	0	0	0
INDET (perm.)	9	8	1	0	1	8	8	1	0	0
Total dientes superiores	2805	1998 (71,2%)	550 (19,6%)	257 (9,2%)	477 (17,0%)	2328 (83,0%)	2236 (79,7%)	301 (10,7%)	205 (7,3%)	63 (2,2%)
Inferiores (mandíbula)										
i	56	54	2	0	4	52	54	2	0	0
I	522	414	102	6	72	450	419	64	30	9
c	80	74	4	2	9	71	76	4	0	0
C	316	232	80	4	41	275	234	49	28	5
m	267	228	30	9	132	135	237	21	5	4
P	569	446	108	15	99	470	457	62	39	11
M	838	580	231	27	304	534	604	105	102	27
Indet (caduco)	1	0	1	0	0	1	0	0	1	0
INDET (perm.)	3	3	0	0	0	3	3	0	0	0
Total dientes inferiores	2652	2031 (76,6%)	558 (21,0%)	63 (2,4%)	661 (24,9%)	1991 (75,1%)	2084 (78,6%)	307 (11,6%)	205 (7,7%)	56 (2,1%)
Indeterminados										
i	0	0	0	0	0	0	0	0	0	0
I	1	1	0	0	0	1	1	0	0	0
c	0	0	0	0	0	0	0	0	0	0
C	3	2	1	0	0	3	2	0	1	0
m	1	1	0	0	0	1	1	0	0	0
P	1	0	1	0	0	1	0	0	0	1
M	14	7	7	0	0	14	7	1	2	4
Indet (caduco)	1	0	1	0	0	1	0	0	0	1
INDET (perm.)	29	18	11	0	0	29	18	2	2	7
Total dientes indeterminados	50	29 (58%)	21 (42%)	0	0	50 (100%)	29 (58%)	3 (6%)	5 (10%)	13 (26%)
<b>Total dientes</b>	<b>5507</b>	<b>4058 (73,7%)</b>	<b>1129 (20,5%)</b>	<b>320 (5,8%)</b>	<b>1138 (20,7%)</b>	<b>4369 (79,3%)</b>	<b>4349 (79,0%)</b>	<b>611 (11,1%)</b>	<b>415 (7,5%)</b>	<b>132 (2,4%)</b>

Tabla 2.9

Estado de conservación y fragmentación de huesos poscraneales. I: tronco									
Hueso A	Hueso B	n	Conservación			Fragmentación			
			E	I	F	A	B	C	D
Clavícula		418	60	306	52	93	92	104	129
Escápula		587	74	454	59	80	43	53	411
Esternón	Manubrio	85	48	37	0	48	10	12	15
	Cuerpo	151	93	54	4	94	15	20	22
	Xifoides	9	8	1	0	8	0	1	0
	Total	245	149	92	4	150	25	33	37
Coxal		57	2	39	16	2	16	18	21
Ilión		407	25	325	57	28	42	53	284
Isquión		181	45	121	15	46	45	34	56
Pubis		153	25	119	9	25	33	45	50
Sacro		376	185	154	37	193	38	42	103
Cóccix		116	98	18	0	98	13	4	1
Costillas	CT 1	292	91	198	3	93	102	50	47
	CT 2/10	1843	101	1715	27	108	221	464	1050
	CT 11/12	241	71	167	3	74	75	53	39
	CT sp	25	1	23	1	1	1	6	17
	Total	2401	264	2103	34	276	399	573	1153
Vértebras	C1	244	83	138	23	86	31	53	74
	C2	183	76	102	5	77	32	39	35
	C3-C6	545	223	312	10	227	76	214	28
	C7	93	26	67	0	26	34	30	3
	Cervical sp	114	48	66	0	48	10	47	9
	Total cerv.	1179	456	685	38	464	183	383	149
	T1	130	44	84	2	44	35	45	6
	T2-T9	802	297	488	17	301	162	292	47
	T10	60	22	35	3	22	20	15	3
	T11	58	22	28	8	26	21	9	2
	T12	66	25	34	7	29	24	10	3
	T10-T12	127	10	117	0	10	16	76	25
	Torácica sp	94	48	44	2	48	13	13	20
	Total torác.	1337	468	830	39	480	291	460	106
	L1/L4	355	73	253	29	85	101	146	23
	L5	73	20	48	5	23	16	29	5
	Lumbar sp	148	43	105	0	43	5	51	49
	Total lumb	576	136	406	34	151	122	226	77
	Vértebra sp	72	20	50	2	119	3	12	38
Total vért.	3164	1080	1971	113	1114	599	1081	370	
Total tronco		8105	2007 (24,8%)	5702 (70,3%)	396 (4,9%)	2105 (26,0%)	1345 (16,6%)	2040 (25,2%)	2615 (32,3%)

Tabla 2.10.a

Estado de conservación y fragmentación de huesos poscraneales. II: extremidades									
Hueso A	Hueso B	n	Conservación			Fragmentación			
			E	I	F	A	B	C	D
Húmero		679	112	441	126	133	79	129	338
Cúbito		596	62	416	118	82	49	146	319
Radio		701	109	445	147	153	53	140	355
Carpós	Escafoides	155	137	18	0	137	9	9	0
	Semilunar	166	161	5	0	161	5	0	0
	Piramidal	104	99	5	0	99	5	0	0
	Pisiforme	213	208	5	0	208	5	0	0
	Trapezio	147	139	8	0	139	7	1	0
	Trapezoides	128	123	5	0	123	4	1	0
	H.Grande	216	200	16	0	200	16	0	0
	Ganchoso	177	148	29	0	148	25	2	2
	Carpiano sp	56	52	4	0	52	1	2	1
	Total	1362	1267	95	0	1267	77	15	3
MCs	MC1	287	208	73	6	212	4	21	10
	MC2	280	189	84	7	193	51	29	7
	MC3	268	194	72	2	196	28	37	7
	MC4	235	168	60	7	173	34	22	6
	MC5	223	148	74	1	149	23	37	14
	MC sp	270	131	139	0	131	79	42	18
	Total	1563	1038	502	23	1054	259	188	62
Falanges mano	Falange	1358	1158	192	8	1163	145	46	4
	Falangina	1022	973	48	1	974	40	7	1
	Falangeta	941	925	16	0	925	14	1	1
	Total	3321	3056	256	9	3062	199	54	6
Fémur		1041	154	660	227	207	94	128	612
Rótula		263	174	85	4	177	54	17	15
Tibia		769	112	530	127	156	87	101	425
Peroné		640	47	481	112	62	26	102	450
Tarsos	Calcáneo	327	114	196	17	118	84	50	75
	Astrágalo	324	170	144	10	172	100	17	35
	Cuboides	250	170	78	2	170	58	15	7
	Escafoides	263	190	72	1	191	42	13	17
	Cuña 1	229	186	43	0	186	26	12	5
	Cuña 2	221	188	33	0	188	24	8	1
	Cuña 3	222	169	53	0	169	9	4	0
	Tarsiano sp	19	9	10	0	9	3	1	6
Total	1855	1196	629	30	1203	386	120	146	
MTs	MT1	360	253	100	7	258	57	19	26
	MT2	281	181	92	8	188	44	36	13
	MT3	313	191	116	6	195	46	59	13
	MT4	300	190	106	4	193	59	35	13
	MT5	331	215	116	0	215	64	37	15
	MT sp	247	117	130	0	117	53	33	44
Total	1832	1147	660	25	1166	323	219	124	
Falanges pie	Falange	1353	1235	117	1	1236	89	23	5
	Falangina	494	493	1	0	493	1	0	0
	Falangeta	636	618	18	0	618	14	4	0
	Total	2483	2346	136	1	2347	104	27	5
Total extremidades		17105	10820 (63,2%)	5336 (31,2%)	949 (5,5%)	11069 (64,7%)	1790 (10,5%)	1386 (8,1%)	2860 (16,7%)

Tabla 2.10.b

En primer lugar, cabe destacar la peculiaridad del estado de conservación de los huesos craneales en el conjunto de los restos humanos estudiados. Apenas un 5% se conservaba de forma íntegra, cifra que contrasta con el 73,7% del total de las piezas dentarias o el 63,2% de los huesos de las extremidades. La peculiar arquitectura de la bóveda craneana, determinada por su función de protección de la masa cerebral, hace que el vacío dejado por la desintegración de los tejidos blandos la convierta en una estructura especialmente frágil y propensa a una rápida fragmentación. Los huesos faciales son los que más acusan las consecuencias de la esqueletización en condiciones de remoción y manipulación, de tal forma que en muchos casos su identificación resulta prácticamente imposible.

En Es Càrritx el estado de conservación de los cráneos presenta un perfil de acusada fragmentación que afecta a más de 2/3 de los huesos contabilizados y que en un 62,3% de los casos ha reducido el elemento estudiado a apenas un 25% de su tamaño original. Como cabría esperar, los huesos que no articulan directamente con la bóveda (hioides y cartílagos tiroideos osificados) son los mejor preservados (gráfico 2.4a).

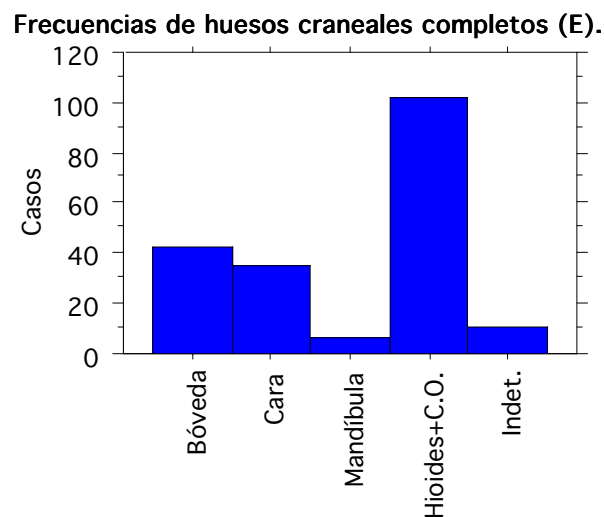


Gráfico 2.4.a

(Nota: el intervalo expresado por la columna "Indet." se compone de huesos wormianos aislados)

Entre los huesos craneales incompletos se observa un acusado protagonismo de la bóveda (gráfico 2.4b). Los fragmentos de parietal representan algo más del doble de los contabilizados para el frontal, el occipital y el temporal (tabla 2.8) y, sin embargo, se han podido remontar en algo más del 40% de los casos, cifra similar a la de los otros huesos que componen la bóveda (gráfico 2.4c). Es decir, la elevada fracturación de este tipo de huesos no impide que se utilicen extensamente en tareas de remontaje. Lo contrario sucede en los huesos faciales, donde como ya se ha

advertido anteriormente, la fragmentación de los elementos implicados impide su mera identificación

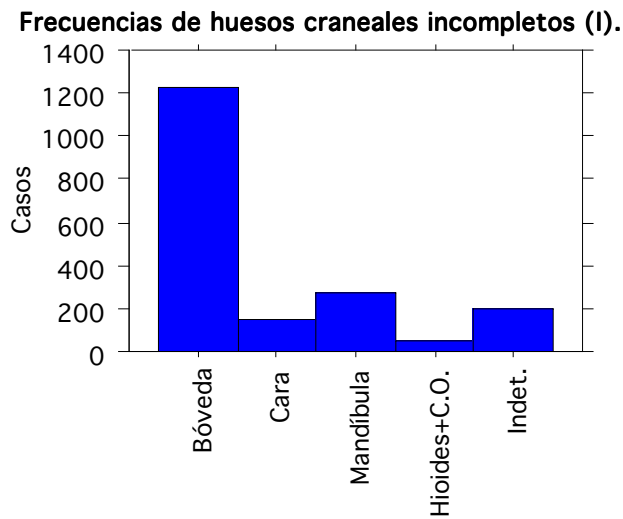


Gráfico 2.4.b

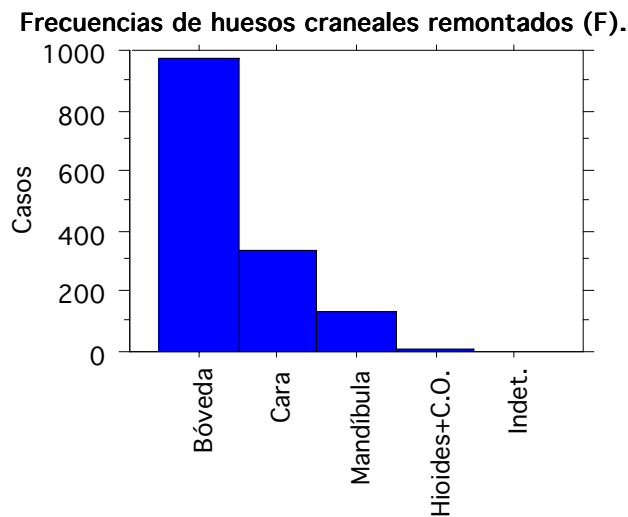


Gráfico 2.4.c

En segundo lugar, cabe señalar que los dientes constituyen el tipo de restos humanos de la necrópolis de Es Càrritx mejor preservados y el que presenta unas cifras más bajas entre los restos que apenas conservan un 25% de su tamaño original, ya que sólo el 2,4% se incluyen dentro de esta categoría. Esta circunstancia resulta altamente reveladora a la hora de decidir cuáles han de ser los elementos más idóneos para el cómputo del número mínimo de individuos (véase

capítulo 4) y facilita la elaboración de perfiles de edad, especialmente en el segmento de la población infantil.

En general, las diferencias entre piezas superiores e inferiores son mínimas (tabla 2.9). En cifras absolutas, el 79% de los dientes están completos aunque, por desgracia, sólo uno de cada cinco apareció encajado en su respectivo alvéolo. Entre los diferentes tipos de piezas dentarias los molares son los que con mayor frecuencia se preservaron *in situ* (gráfico 2.5.a). Este dato, como veremos posteriormente (véase *infra* apartado 2.5), resulta especialmente esclarecedor a la hora de reconstruir los procesos tafonómicos que determinaron el estado del depósito tal y como lo encontramos antes de su excavación.

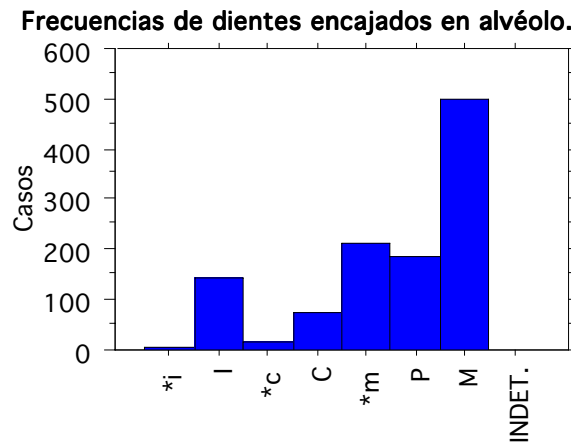


Gráfico 2.5.a

En lo que respecta a las piezas dentarias sueltas, las frecuencias relativas resultan bastante aleatorias (gráfico 2.5b), ya que las cifras más elevadas corresponden tanto a la dentición anterior como a la posterior (gráfico 2.5.b).

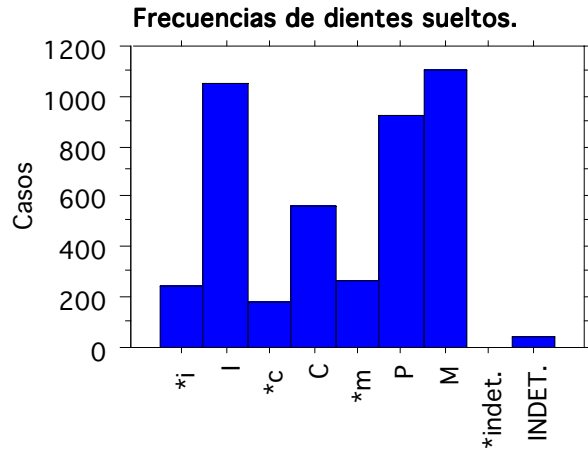


Gráfico 2.5.b

Resulta interesante observar que incisivos y molares permanentes no son sólo las piezas que con mayor frecuencia aparecen sueltas, sino que también constituyen los tipos mejor preservados en el conjunto del registro (gráfico 2.5.c). No obstante, los molares permanentes son a su vez los que cuentan con un mayor número de efectivos entre los incompletos (gráfico 2.5.d) y los remontados (gráfico 2.5.e). A este respecto, es necesario subrayar que el remontaje de piezas dentarias resulta una tarea especialmente ardua que, en la mayor parte de los casos, sólo permite asociar coronas y raíces de fracturación reciente.

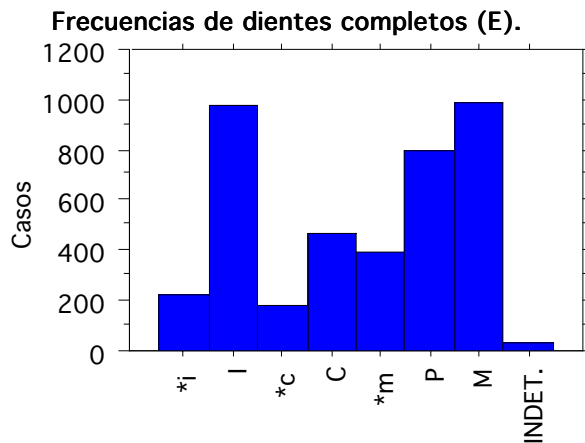


Gráfico 2.5.c

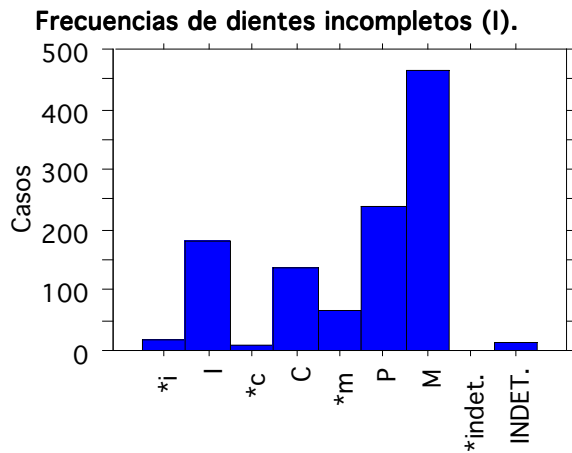


Gráfico 2.5.d

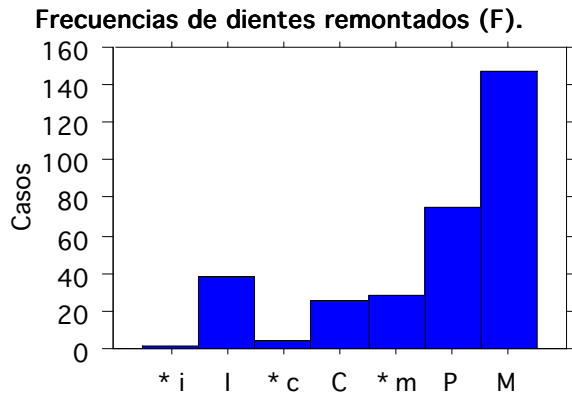


Gráfico 2.5.e

Finalmente, en lo que atañe a la conservación del esqueleto poscraneal es necesario subrayar que existen diferencias acusadas entre los huesos del tronco y los de las extremidades (tablas 2.10. a y b). La proporción de elementos completos en muñecas, manos, tobillos y pies es muy elevada y contrasta enormemente con las altas frecuencias de fracturación de huesos del tórax, como por ejemplo las costillas (gráficos 2.6.a y 2.6.b). Del mismo modo, en ambos grupos de restos humanos se produce una relación inversa en la categoría de conservación más frecuente. Así, la mayor parte de los restos del tronco sólo conserva el 25% de la morfología original del hueso, mientras que en los huesos de las extremidades más de la mitad están completos en un 100%.

**Frecuencias de huesos del poscráneo completos (E)  
por región anatómica.**

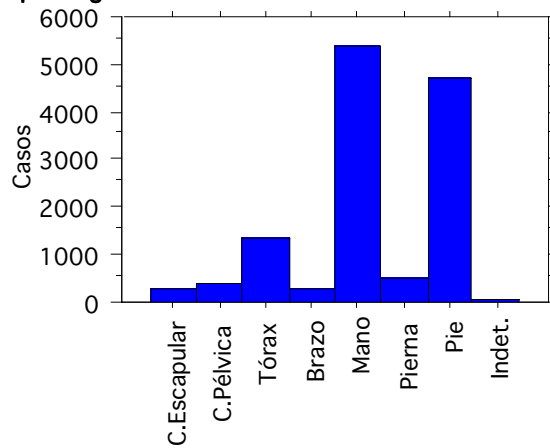


Gráfico 2.6.a

**Frecuencias de huesos del poscráneo incompletos (I)  
por región anatómica.**

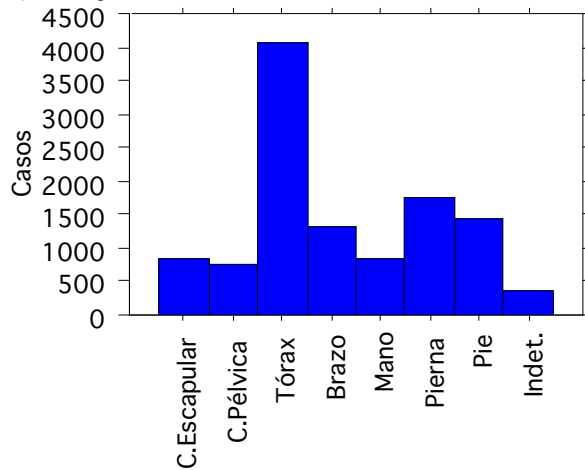


Gráfico 2.6.b

Para acabar, cabe señalar que los huesos largos de las extremidades destacan respecto al resto en el número de casos que han podido remontarse (gráfico 2.6c), sin duda gracias a la facilidad de identificación de los fragmentos de diáfisis.

**Frecuencias de huesos del poscráneo remontados (F)  
por región anatómica.**

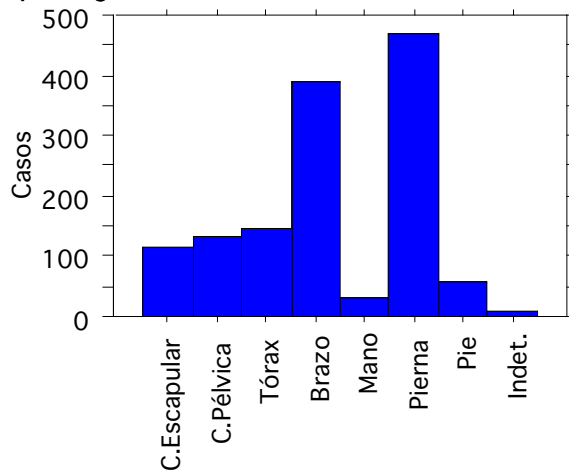


Gráfico 2.6.c.

Como ya se advirtió al principio, las causas últimas de la fragmentación de los restos humanos hay que buscarlas en las condiciones en que se desarrollaron las prácticas funerarias durante los seis siglos que estuvo vigente el cementerio de Es Càrritx. No obstante, para corroborar esta aseveración en el inventario de los restos humanos se ha incluido un campo informativo en el que se especifica si la fractura observada es antigua o reciente. La fragmentación contemporánea de los restos humanos no sólo se explica en función de las difíciles condiciones en las que se realizaron los trabajos de campo. También hay que tener en cuenta que una parte de las fracturas recientes detectadas se produjeron durante el embalaje, el transporte hasta el laboratorio y el proceso de lavado.

En lo que respecta a los huesos del cráneo, solamente el 8,0% de los fragmentos inventariados presenta fracturas recientes (tabla 2.11). De éstos, más de la mitad (140) han podido remontarse durante los trabajos de laboratorio y la mayor parte corresponde a piezas conservadas en un 25% (117 casos, equivalente a un 47,8%). Nuevamente, los huesos más afectados son los de la bóveda, aunque también hay que resaltar las frecuencias de roturas recientes que presentan las mandíbulas (gáfico 2.7a y 2.7b).

Fracturación de huesos craneales			
Tipo de hueso	n	Fractura antigua	Fractura reciente
Frontal	372	340	32
Parietal	864	818	46
Occipital	347	316	31
Temporal	415	378	37
Esfenoides	111	104	7
Cigomático	89	81	8
Max. c/d.	102	89	13
Max.s/d	68	66	2
Palatino	2	2	0
Nasal	21	20	1
Lacrimonal	3	3	0
Cornete	1	0	1
Etmoides	8	8	0
Vomer	7	6	1
Mand.c/d	166	136	30
Mand.s/d	240	211	29
Hioides	21	18	3
Cart.Osif.	29	28	1
Frag.cráneo sp	202	199	3
<b>Total</b>	<b>3068</b>	<b>2823</b>	<b>245</b>

Tabla 2.11

**Huesos del cráneo fracturados durante el proceso de excavación, por región anatómica.**

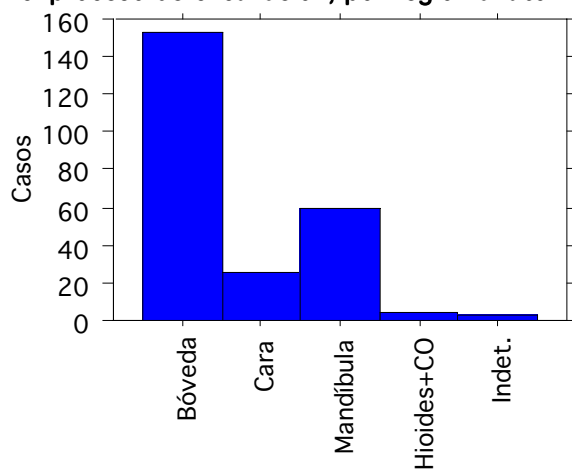


Gráfico 2.7

En lo que concierne a los elementos del esqueleto poscranial las cifras son bastante diferentes. El 26% de las fracturas observadas son recientes, es decir, aproximadamente 1 de cada 4 fragmentos se ha generado durante el proceso de excavación e investigación de los restos humanos. El remontaje ha sido mucho menos fructífero que en el caso de los huesos de la bóveda y solamente ha podido pegarse un 16,7% de estas fracturas recientes. Por otra parte, los huesos rotos se reparten de forma similar entre las categorías de tamaño, ya que sólo el 38,4% corresponde a fragmentos que conservan el 25% de su morfología original.

<b>Fracturación de huesos poscraniales</b>			
<b>Tipo de hueso</b>	<b>n</b>	<b>Fractura antigua</b>	<b>Fractura reciente</b>
Clavícula	352	246	106
Escápula	511	393	118
Esternón	95	75	20
Costillas	2135	1508	627
Vértebras	2070	1555	515
Coxal	55	30	25
Ilion	382	296	86
Isquion	136	97	39
Pubis	128	82	46
Sacro	185	157	28
Cóccix	18	17	1
Húmero	564	425	139
Cúbito	534	394	140
Radio	587	437	150
Fémur	880	696	184
Rótula	89	66	23
Tibia	649	508	141
Peroné	588	443	145
Carpiano	95	62	33
MC	523	322	201
FalangeM	262	163	99
Tarsiano	656	506	150
MT	683	467	216
Falangep	137	96	41
Frag.poscráneo	365	356	9
<b>Total</b>	<b>12679</b>	<b>9397</b>	<b>3282</b>

Tabla 2.12

Los huesos más afectados son los del tórax, tanto vértebras como costillas (tabla 2.12 y gráfico 2.8), si bien estos mismos elementos son los que presentan las cifras más altas también en el capítulo de fracturas antiguas. Los únicos elementos que

cuentan con un número casi igual de fracturas recientes como de antiguas son los coxales adultos, estructuras óseas ciertamente frágiles y de excavación compleja especialmente en osarios con una matriz sedimentaria tan dura como la de la fosa de la Sala 1.

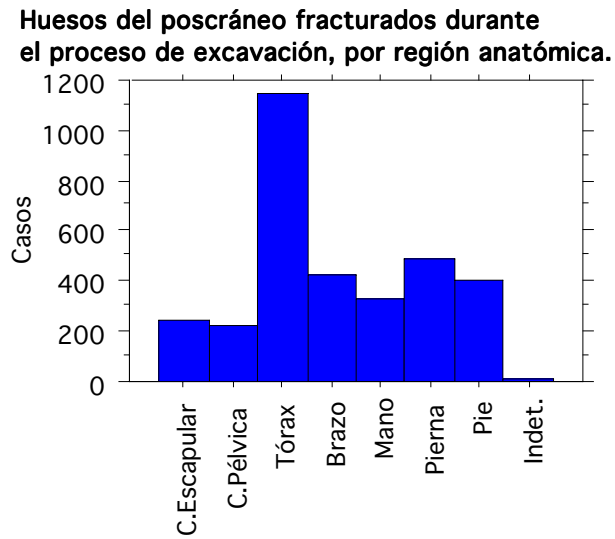


Gráfico 2.8

## 2.4. Remontaje

El inventario de los casi treinta y cinco mil huesos y dientes recuperados en el yacimiento ha corrido paralelo al remontaje, tanto de huesos fracturados como de articulaciones y asociaciones de huesos que, inequívocamente, pudieran adscribirse a un mismo individuo bien por su idiosincrasia (encaje articular, lesiones patológicas, grados extremos de robustez/gracilidad), bien por correlación espacial. Para ello ha resultado básico clasificar el material por región anatómica y por contexto de aparición en el yacimiento (sector, cuadro y nivel).

Los resultados obtenidos se presentan en dos grandes grupos: remontaje de fragmentos y remontaje de individuos. En el primero se ofrecen los datos sobre el encaje de fragmentos que corresponden a un mismo hueso, mientras que en el segundo se trata la cuestión del remontaje de individuos.

### 2.4.1. Remontaje de fragmentos

Para valorar el remontaje de fragmentos resulta básico contar con referencias comparativas respecto al estado de conservación. En las tablas que se presentan a continuación se ilustran las frecuencias para todos los casos posibles conjugando los datos obtenidos sobre conservación y fragmentación):

- columna E+A: huesos completos conservados de una pieza
- columna I+A (exclusiva del esqueleto poscraneal): huesos incompletos pero que conservan en un 100% su longitud máxima
- columna F+A: huesos remontados y conservados en un 100%
- columna I+B: huesos incompletos conservados en un 75%
- columna F+B: huesos remontados y conservados en un 75%
- columna I+C: huesos incompletos conservados en un 50%
- columna F+C: huesos remontados y conservados en un 50%
- columna I+D: huesos incompletos conservados en un 25%
- columna F+D: huesos remontados y conservados en un 25%

Como ya se comentó anteriormente, los huesos de la bóveda craneana son los que presentan la tasa de fragmentación más elevada en el conjunto de restos humanos recuperados. El porcentaje de huesos completos conservados de una pieza sólo alcanza el 5,5% (tabla 2.13). Sin embargo, la notable preservación de suturas en conexión y la abundancia de puntos anatómicos de fácil identificación también ha facilitado el trabajo de remontaje, alcanzando la cifra del 40,7% de todos los fragmentos y huesos completos inventariados. A este respecto, resulta interesante señalar que los resultados del remontaje tanto de frontal, como de parietal, occipital,

temporal y esfenoides ofrecen siempre unas cifras más elevadas que las del cómputo de huesos completos e incompletos no remontados.

Remontaje y fragmentación de huesos craneales									
Tipo de hueso	n	Categorías combinadas							
		E+A	F+A	I+B	F+B	I+C	F+C	I+D	F+D
Frontal	389	0	18	1	34	6	27	180	123
Parietal	876	1	14	2	44	2	41	503	269
Occipital	416	39	31	15	39	24	21	161	86
Temporal	440	1	27	31	69	66	41	180	25
Esfenoides	120	1	8	2	22	9	20	47	11
Cigomático	147	16	43	18	17	19	16	10	8
Max. c/d.	132	8	24	9	32	11	7	29	12
Max.s/d	70	1	1	5	1	12	1	38	11
Palatino	24	0	22	0	2	0	0	0	0
Nasal	44	5	18	0	11	0	10	0	0
Lacrimar	22	0	19	0	2	0	1	0	0
Cornete	28	5	22	0	1	0	0	0	0
Etmoides	31	0	23	0	1	1	1	0	5
Vomer	26	0	19	0	4	1	0	1	1
Mand.c/d	174	6	3	11	15	30	47	39	23
Mand.s/d	240	0	0	0	1	12	4	187	39
Hioides	120	98	2	7	0	11	0	2	0
Cart.Osif.	33	4	1	3	0	7	1	16	1
Frag.cráneo sp	213	11	0	0	0	1	0	200	1
<b>Total n</b>	<b>3545</b>	<b>196</b>	<b>295</b>	<b>104</b>	<b>295</b>	<b>209</b>	<b>238</b>	<b>1593</b>	<b>615</b>
<b>Total %</b>	<b>100</b>	<b>5,5</b>	<b>8,3</b>	<b>2,9</b>	<b>8,3</b>	<b>5,9</b>	<b>6,7</b>	<b>44,9</b>	<b>17,3</b>

Tabla 2.13

Justamente lo contrario sucede con los huesos del poscráneo puesto que prácticamente la mitad (50,9%) se conservan completos y de una pieza y las cifras parciales de huesos incompletos siempre superan a las de los remontados. No obstante, es preciso señalar que esta situación se ve en gran medida distorsionada por la inclusión en el mismo grupo de huesos largos, cortos e irregulares. Así, los resultados obtenidos para los elementos de brazos y piernas permiten señalar que la cifra global de fragmentos remontados supera a la de los huesos conservados de una pieza, mientras que en el caso de los elementos de muñecas y tobillos la tendencia es justamente la inversa: una mayor proporción de huesos completos que de incompletos y unos resultados mínimos en las tareas de remontaje (tabla 2.14).

Remontaje y conservación de huesos poscraneales.										
Hueso A	n	Categorías combinadas								
		E+A	I+A	F+A	I+B	F+B	I+C	F+C	I+D	F+D
Clavícula	418	60	13	20	83	9	92	12	118	11
Escápula	587	74	3	3	36	7	43	10	372	39
Esternón	245	149	0	1	24	1	33	0	35	2
Costillas	2401	264	0	12	391	8	567	6	1145	8
Vértebra	3164	1079	0	35	582	17	1045	36	345	25
Coxal	57	2	0	0	11	5	9	9	19	2
Ilion	407	25	0	3	36	6	37	16	252	32
Isquion	181	45	0	1	43	2	28	6	50	6
Pubis	153	25	0	0	32	1	43	2	44	6
Sacro	376	185	0	8	33	5	34	8	87	16
Cóccix	116	98	0	0	13	0	4	0	1	0
Húmero	679	112	0	21	64	15	97	32	280	58
Cúbito	596	62	5	15	38	11	111	35	262	57
Radio	701	109	12	32	41	12	104	36	288	67
Fémur	1041	154	15	38	64	30	91	37	490	122
Rótula	263	174	0	3	53	1	17	0	15	0
Tibia	769	112	15	29	76	11	76	25	363	62
Peroné	640	47	3	12	21	5	80	22	377	73
Carpiano	1362	1267	0	0	77	0	15	0	3	0
MC	1563	1038	0	16	256	3	185	3	61	1
FalangeM	3321	3056	0	6	197	2	53	1	6	0
Tarsiano	1855	1196	0	7	380	6	113	7	136	10
MT	1832	1147	0	19	321	2	216	3	123	1
Falangep	2483	2346	0	1	104	0	27	0	5	0
<b>Total n</b>	<b>25210</b>	<b>12826</b>	<b>66</b>	<b>282</b>	<b>2976</b>	<b>159</b>	<b>3120</b>	<b>306</b>	<b>4877</b>	<b>598</b>
<b>Total %</b>	<b>100</b>	<b>50,9</b>	<b>0,3</b>	<b>1,1</b>	<b>11,8</b>	<b>0,6</b>	<b>12,4</b>	<b>1,2</b>	<b>19,3</b>	<b>2,4</b>

Tabla 2.14

#### 2.4.2. Remontaje de individuos

La desarticulación generalizada de la Sala 1 y la aglomeración de restos humanos de igual tipo, lateralidad y perfil de edad en una misma cuadrícula han impedido el remontaje de individuos al 100%.

Las dos únicas asociaciones cráneo-poscráneo (AR-26 y AR-28) se deben a su preservación *in situ* y lo mismo podría decirse del núcleo principal de huesos asociados en los casos en que se incluyen partes del tórax. Varios son los factores

que permiten explicar la conservación de elementos en posición anatómica pese a la intensa frecuentación humana del cementerio en época prehistórica:

a.) Existen algunos lugares marginales respecto a las zonas de paso y de acumulación de cadáveres (en posición primaria) y de cráneos (en posición secundaria), como por ejemplo la repisa anexa al pequeño hogar próximo a la entrada.

b.) El enlosado diseñado para la deposición original de los cuerpos presenta pequeñas grietas entre las piedras por donde se filtraron elementos óseos de una misma región anatómica, generalmente manos y pies.

c.) Algunos desniveles del pavimento funcionaron a modo de “estuches” capaces de impedir el desplazamiento de restos esqueletizados, fundamentalmente tramos de la columna vertebral.

En suma, para el remontaje de individuos se ha partido de las conexiones anatómicas detectadas en los trabajos de campo, ya fueran bóvedas o agrupaciones del esqueleto poscraneal. A partir de estos núcleos mínimos se ha ido contrastando asociaciones inequívocas respecto a elementos próximos espacialmente o fragmentos que encajaran perfectamente en los puntos de fractura pese a encontrarse muy alejados del núcleo principal. Como es lógico, esta tarea hubiera sido una quimera de no disponer de información muy precisa acerca del contexto de aparición de todos los restos óseos inventariados gracias al empleo de fichas de registro obtenidas a partir de fotografías digitales en cada nivel de la cuadrícula. Las unidades mínimas de remontaje se denominan mediante la sigla “AR” seguida de un número correlativo y pueden dividirse en dos grandes grupos: poscraneales y craneales.

#### *Remontaje de individuos a partir de estructuras poscraneales*

El número total de unidades de remontaje asciende a veinticinco (gráfico 2.9). La figura 2.2 ilustra su distribución espacial en el seno de la necrópolis.

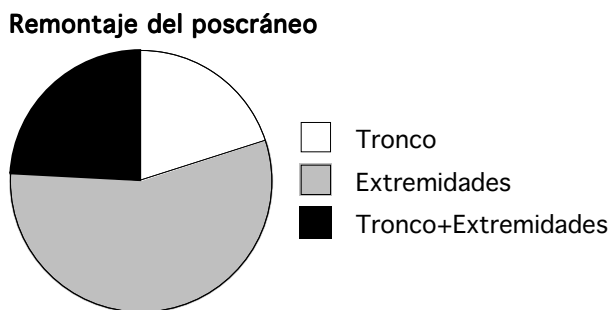


Gráfico 2.9.

## Sus características principales son las siguientes:

### AR-1

Restos del tórax de un niño o una niña de  $\pm 2-3$  años recuperado en el nivel I del cuadro 15 I. Se compone de 7 vértebras (C2, C6, 4 T2/T9, T11) clavícula izquierda y 7 costillas 2/9 del lado izquierdo.

### AR-2

Parte del tronco y brazo izquierdo de una mujer adulta joven ( $\pm 19-20$  años) localizado en el nivel I del cuadro 17 H. Está compuesto por la clavícula izquierda y el 1/3 medial de la derecha, ambas escapulas incompletas a la altura del borde medial y el inferior, el esternón, ambos coxales incompletos a la altura del pubis, parte del sacro y el cóccix, 8 vértebras (2 C3/C6, 2 T2/T9 y 4 lumbares), 8 costillas izquierdas y 6 derechas (entre las que se incluyen ambas CT1) y el húmero izquierdo completo. Presenta severas reacciones del periosteo activas y escleróticas y de carácter proliferante en las costillas, probablemente causadas por una afección de carácter pulmonar.

### AR-3

Restos de ambos pies de un individuo subadulto menor de 14 años localizados en el nivel I de los cuadros 16 y 17 I. Se compone de ambos MT1, MT2 izquierdo, MT3 derecho, dos falanges proximales y una falange distal correspondiente al dedo gordo.

### AR-4

Restos de las extremidades y de la cadera izquierdas de una criatura de  $\pm 6-18$  meses, localizados en el nivel I de los cuadros 17 y 18 I. Se compone de húmero, cúbito, radio, ilion, tibia y MT1, todos ellos completos. Presenta una notable deformación del antebrazo, notablemente abombado, y periostitis aguda en la cara interna de la tibia.

### AR-6

Restos de la pierna derecha de una o un adolescente  $\pm 14-15$  años, localizados en el nivel I del cuadro 17 I. Se compone del fémur, incompleto en el extremo distal, la rótula y las epífisis inmaduras de la tibia.

### AR-10

Restos de ambos de pies de un hombre adulto muy robusto, localizados en el nivel I de los cuadros 18 I y J. Se compone de ambos astrágalos, escafoides, cuñas 1, cuboides, MT1, MT2 y MT5, cuña 2 derecha, MT3 y MT4 izquierdos y 3 falanges proximales, una de ellas del dedo gordo. El astrágalo derecho (X1-10409) fue utilizado como muestra para los análisis de C14<sup>19</sup> y de oligoelementos.

### AR-12

Restos del pie izquierdo de una probable mujer fallecida en edad adulta, localizados en el nivel I del cuadro 16 J. Esta compuesto por cuboides, cuña 2, cuña 3, MT2, MT3, MT4, MT5 y la falange proximal del dedo gordo. Presenta entesopatías en los metatarsianos distales causadas por una hiperdorsiflexión del pie (*squatting facet*).

### AR-16

Restos del pie derecho de un individuo adulto alofiso, localizados en el nivel I del cuadro 16 K. Se compone de astrágalo, escafoides, cuboides, cuña 1 y cuña 2.

### AR-18

Restos de ambos pies de un individuo adulto alofiso, localizados en el nivel I del cuadro 16 K. Se componen de MT1, MT2 y MT3 derechos, MT4 izquierdo y ambos MT5. Presentan todos ellos una notable remodelación

---

<sup>19</sup> Código de laboratorio Beta-123755: 1180 $\pm$ 70 ane, 1380 cal ANE (mediana).

del córtex con implicación de periostitis proliferante de carácter grave cuya etiología, ante la ausencia de otras estructuras poscraneales, sólo puede atribuirse hipotéticamente a un proceso infeccioso de carácter pulmonar.

*AR-21*

Restos del tronco y de las extremidades de un hombre adulto joven ( $\pm 30-35$  años), localizados en los niveles I a III de los cuadros 14 y 15 F y G. Se encontró parcialmente articulado, en posición decúbito supino con la cabeza orientada hacia el noroeste y los pies hacia el sudeste. Se compone de la espina de la escápula izquierda, el cuerpo del esternón, el sacro íntegro, fragmentos de ambos huesos ilíacos (ambas superficies auriculares y acetábulo derecho), 3 vértebras lumbares (L3, L4 y L5), la primera costilla derecha, fragmentos de 3 costillas 2/10 izquierdas y 3 derechas y de 1 costilla flotante izquierda, 2/3 distales del húmero derecho y 1/3 proximal del fémur derecho. Presenta severas lesiones artríticas en las vértebras lumbares, así como nódulos de Schmorl y deformación del cuerpo anterolateral hacia el lado derecho con hundimiento de la fracción anterolateral izquierda.

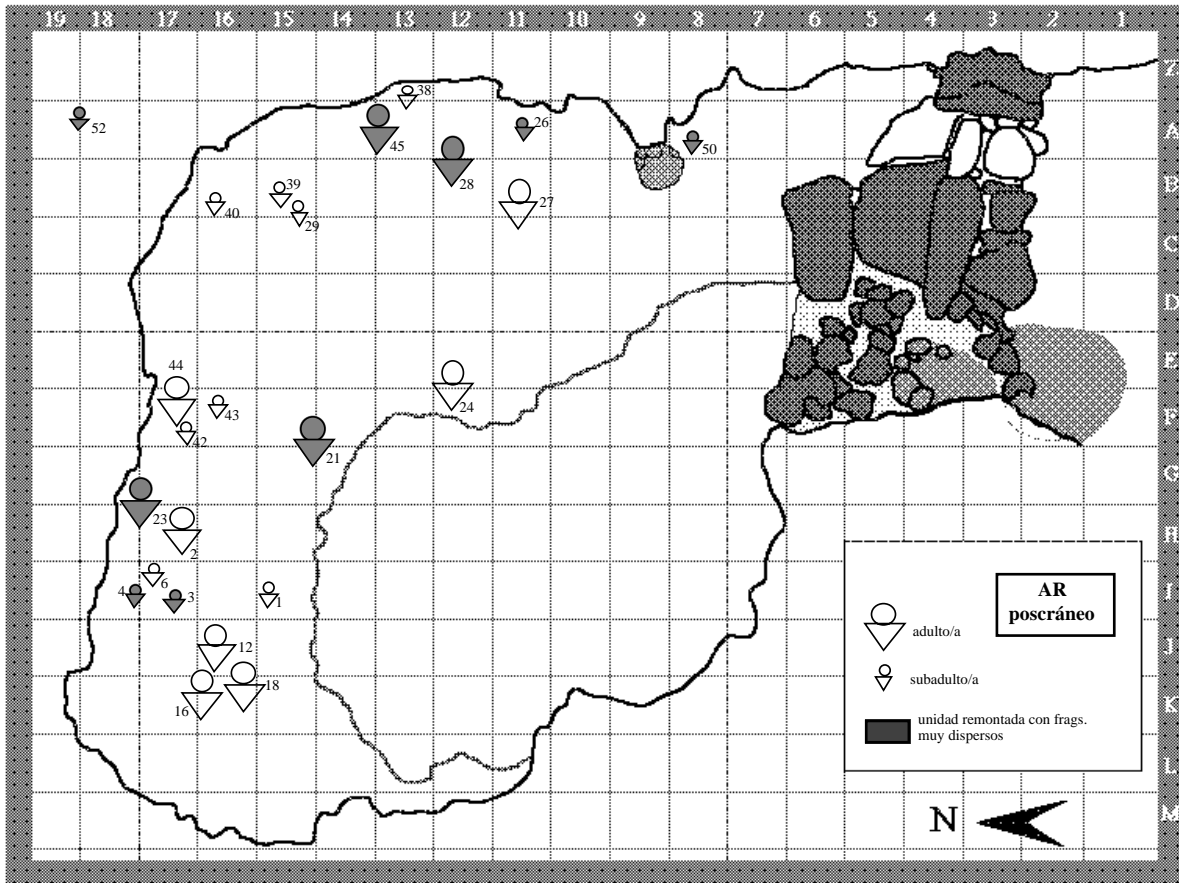


Figura 2.2. Distribución espacial de las unidades poscraneales remendadas (AR), incluidas las asociadas a elementos craneales (AR-26/28).

#### AR-23

Restos del tronco de un individuo adulto joven ( $\pm 26-35$  años) y alofiso, recuperados en los niveles I y II de los cuadros 17 G y H. Se compone de fragmentos de 4 costillas 2/10 izquierdas y 6 derechas, costilla 12 de ambos lados, el tramo vertebral dorsal comprendido entre T5 y T12 y el lumbar compuesto por L4 y L5, y fragmentos del sacro de los dos cuerpos superiores. Presenta lesiones artríticas en las vértebras dorsales y lumbares, así como nódulos de Schmorl y escoliosis caracterizada por una deformación del cuerpo anterolateral hacia el lado derecho con hundimiento de la fracción anterolateral izquierda.

#### AR-24

Restos de ambas piernas de una mujer adulta, recuperados en el nivel I del cuadro 12 F. Se compone del fémur derecho, astillado en ambas epífisis, tibia derecha y tibia izquierda astillada en ambas epífisis.

#### AR-26

Cráneo (véase *infra*), restos del tórax y extremidades superiores de una niña o niño de  $\pm 3-5$  años, recuperados en los niveles I-IV de los cuadros 11 y 12 A y B. Se encontró parcialmente articulado y, dada la posición de las costillas y parte de los brazos respecto al cráneo, parece muy probable que lo depositarán sentado, orientado hacia el sur y con las piernas flexionadas y la cabeza reclinada contra el pecho. El esqueleto poscranial está compuesto por la clavícula derecha, 4 vértebras cervicales (3 C3/C6 y C7), las 12 dorsales y dos lumbares (L1/L4), la primera costilla izquierda, 8 costillas 2/10 del lado izquierdo y 5 del derecho y 1 costilla flotante del lado izquierdo, ambos húmeros y cúbitos y el radio izquierdo. Una muestra compuesta por dos costillas 2/10 del lado izquierdo (X1-5344 y X11-4465) fue datada por C14<sup>20</sup> y constituye la fecha más antigua del uso de la necrópolis.

#### AR-27

Empeine izquierdo de un individuo adulto probablemente masculino, recuperado en el nivel I del cuadro 11 B. Se compone de MT1, MT2, MT3 y MT4.

#### AR-28

Cráneo (véase *infra*) y 80% del poscráneo de un hombre adulto joven (30-35 años) recuperado en los niveles I-IV de los cuadros 12 y 13 A y B. Gran parte del esqueleto poscranial fue localizado en posición anatómica y ha permitido reconstruir la colocación original del cadáver, depositado en decúbito lateral izquierdo con la cabeza orientada hacia el norte, los pies al sur, la cara girada hacia el este y las extremidades ligeramente flexionadas. Resulta interesante destacar que la pelvis reposaba directamente sobre el enlosado y que de cintura hacia abajo estaba sepultado por una notable acumulación de restos mientras que, por el contrario, parte del tórax y el cráneo con su mandíbula asociada aparecían ya en el primer nivel, literalmente por encima del lecho de restos desarticulados. El cuerpo del esternón (X1-5047) fue utilizado como muestra para el análisis radiocarbónico<sup>21</sup> y permitió descartar la hipótesis de que se trataba de un enterramiento relativamente reciente en el uso del cementerio, explicando así que la mayor parte del cuerpo estuviera sepultado por una gran acumulación de restos.

Al esqueleto poscranial se compone de ambas cinturas escapulares (a excepción del manubrio y pequeños fragmentos de la fosa infraespinosa de la escápula derecha), prácticamente toda la columna vertebral (sólo faltan C1, C5, C7, L3 y L4), aproximadamente la mitad del costillar, la cintura pélvica (a excepción de algunos fragmentos de ambos huesos ilíacos y del pubis y gran parte del isquion derechos), el brazo izquierdo, la pierna izquierda, el fémur derecho (astillado en el tróncater mayor y sin la epífisis distal) y parte del pie izquierdo (constituido por cuboides, escafoides, cuña 3, MT1 y MT5). La extensa recuperación del esqueleto poscranial ha permitido observar ciertos patrones artríticos y de lesiones entesopáticas comunes en el registro de paleopatologías que serán tratados en profundidad posteriormente (véase capítulo 8). Cabe señalar, no obstante, que este individuo también presentaba un sacro bífido y anormalmente deformado hacia la cara ventral.

---

<sup>20</sup> Código de laboratorio Beta-123760:  $1230 \pm 60$  ane, 1440 cal ANE (mediana).

<sup>21</sup> Código de laboratorio OxA-7819:  $1015 \pm 40$  ane, 1160 cal ANE (mediana).

*AR-29*

Restos de las extremidades inferiores de un individuo infantil ( $\pm 5-7$  años), recuperados en los niveles I y II del cuadro 15 B. Se compone de ambos fémures, la rótula derecha, y las epífisis proximales de ambas tibias.

*AR-38*

Restos del tronco de un individuo infantil ( $\pm 2-4$  años) recuperados en el nivel III del cuadro 13 A. Se compone de 14 vértebras (1 C3/C6, C7, 6 T2/T9, T11 y las 5 lumbares) y elementos de los 5 cuerpos sacrales.

*AR-39*

Restos de ambos tobillos y pies de un individuo subadulto (mayor de 2 y menor de 14 años), recuperados en los niveles III y IV del cuadro 15 B. Se compone de las epífisis distales de ambas tibias, los dos astrágalos, todos los metatarsianos (a excepción del MT5 izquierdo), las dos falanges de un dedo gordo y una falange distal II/V.

*AR-40*

Restos de ambos tobillos y pies de un individuo subadulto (mayor de 2 y menor de 14 años), recuperados en el nivel III del cuadro 16 B. Se compone de las epífisis distales de ambas tibias, la epífisis distal del peroné derecho, escafoides derecho, ambos cuboides, todos los metatarsianos derechos (a excepción del MT4) y las dos falanges proximales de ambos dedos gordos y una falange proximal II/V.

*AR-42*

Parte del cuello de un individuo subadulto (mayor de 7 y menor de 17 años), recuperado en el nivel III del cuadro 17 F. Se compone del tramo vertebral comprendido entre C6 y T2.

*AR-43*

Restos de las manos de un individuo subadulto, probablemente infantil (menor de 14 años), recuperados en el nivel III del cuadro 16 F. Se compone del trapecio derecho, MC1 izquierdo, MC2 y MC3 derechos, 1 falange proximal del dedo gordo y 2 falanges proximales II/V.

*AR-44*

Restos del pie izquierdo de un individuo adulto a lofiso, recuperados en el nivel III del cuadro 17 F. Se compone de cuña 2, cuña 3, cuboides y todos los metatarsianos (a excepción de MT1).

*AR-45*

Restos de la pierna y el tobillo derechos de una mujer adulta joven, recuperados en los niveles I y IV de los cuadros 13 y 14 E. Se compone de la mitad distal del peroné, la epífisis distal de la tibia, astrágalo, calcáneo y cuboides.

*AR-50*

Restos del tórax y de las extremidades de un niño o de una niña de  $\pm 3-4$  años, recuperados en el nivel II de los cuadros 8 y 9 A y B. Se compone del manubrio, 4 costillas 2/10 izquierdas, T12, el húmero izquierdo y el 1/3 proximal del derecho, ambos fémures ligeramente astillados en las metafisis, las diáfisis de ambas tibias y 2/3 distales del peroné derecho.

*AR-52*

Restos de la cintura escapular y del brazo izquierdos de una niña o un niño de  $\pm 9-11$  años, recuperados en los niveles I y II de los cuadros 18 y 19 A. Se compone de 2/3 de la clavícula lateral, mitad lateral de la escápula, húmero, 2/3 proximales del cúbito y radio.

Estas veinticinco unidades de remontaje componen perfiles poblacionales diferentes. Si sólo se consideran los segmentos óseos con una lateralidad específica más representados, correspondientes al fémur proximal derecho y a MT1, MT2 y MT4 izquierdos, podríamos hablar de un mínimo de seis individuos. Sin embargo, si combinamos estos datos con los de sexo y edad el NMI asciende a nueve

individuos, entre los que se distinguen:

- 1 Infans I ( $\pm$ 6-18 meses)
- 2 Infans II (2-14 años)
- 1 juvenil ( $\pm$ 14-15 años)
- 5 individuos adultos (mayores de 20 años), entre los que se cuentan 3 varones, 1 hembra y 1 alofiso.

### *Remontaje de individuos a partir de estructuras craneales.*

En este ámbito los resultados han sido más fructíferos debido, en parte, a que ya en los trabajos de campo se pudo aislar un total de sesenta y cinco conjuntos craneales<sup>22</sup> en diversos estados de conservación. Las figuras 2.3.a y 2.3.b ilustran su distribución espacial en el seno de la necrópolis.

El recuento asciende a noventa unidades mínimas (gráfico 2.9) que corresponden a otros tantos individuos y comprenden:

- 40 cráneos sin mandíbula asociada
- 8 cráneos con mandíbula asociada
- 41 calotas
- 1 esplacnocráneo

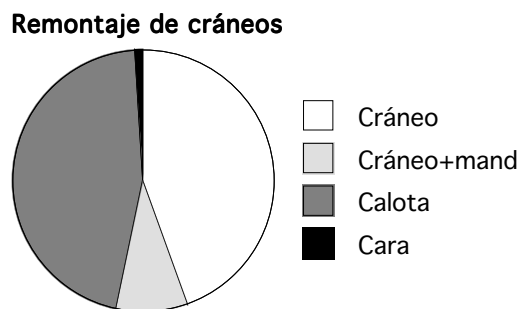


Gráfico 2.10

Las unidades de remontaje numeradas entre AR-20 y AR-55 suman un total de diecinueve cráneos/individuos y se ubican en el piso superior (“Osario” o “S1”), mientras que las sigladas entre AR-101 y AR-175, que ascienden a un total de setenta y un cráneos/individuos, se localizaron en el piso inferior (“Fosa” o “F”). De los noventa ejemplares, solamente cuatro han sido remontados con fragmentos procedentes de ambas zonas de la necrópolis<sup>23</sup>. Las características principales son las siguientes:

<sup>22</sup>12 de ellos en el Osario (S1) y 53 en la Fosa (F).

<sup>23</sup> Concretamente, AR-20, AR-41, AR-49 y AR-163.

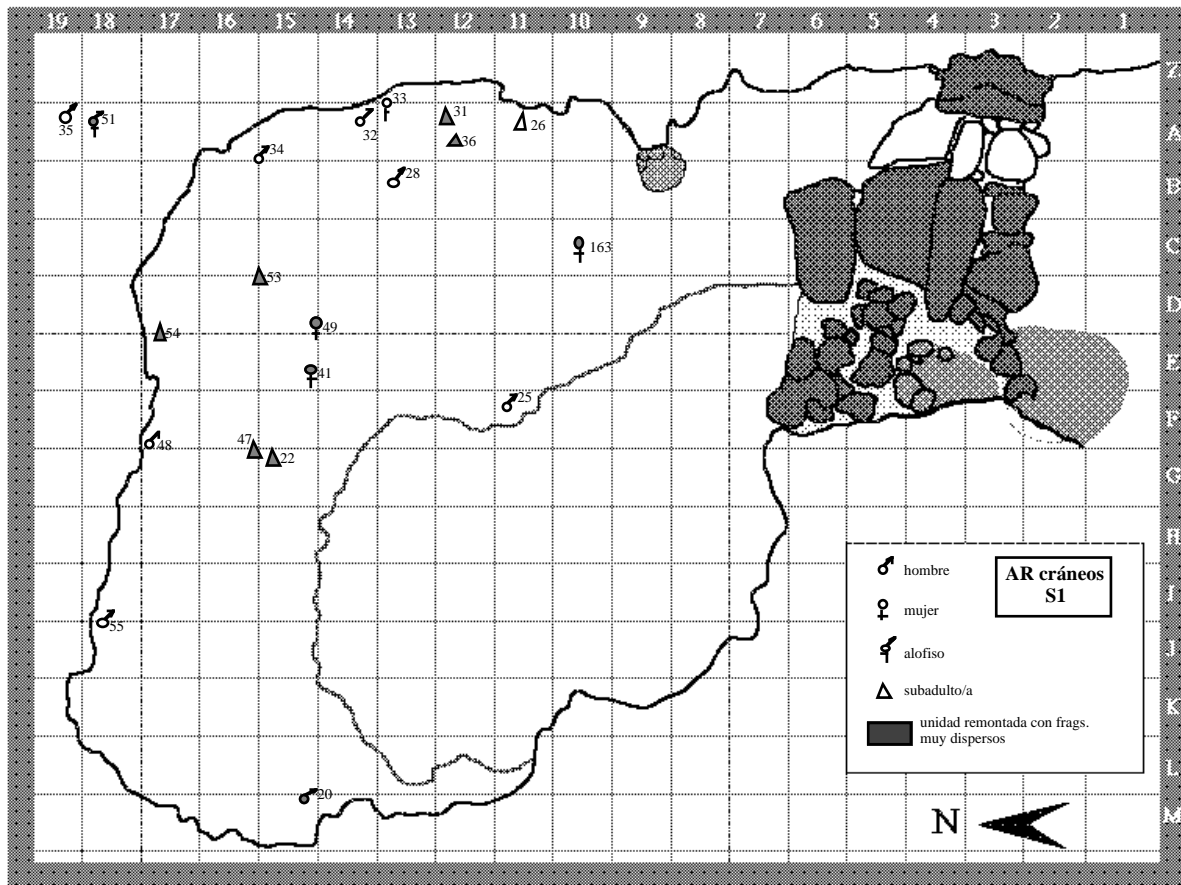


Figura 2.3.a. Distribución espacial en S1 de las unidades craneales remontadas (AR), incluidas las asociadas a elementos poscraneales. Las unidades AR-20/41/49/163 fueron remontadas con fragmentos procedentes de F.

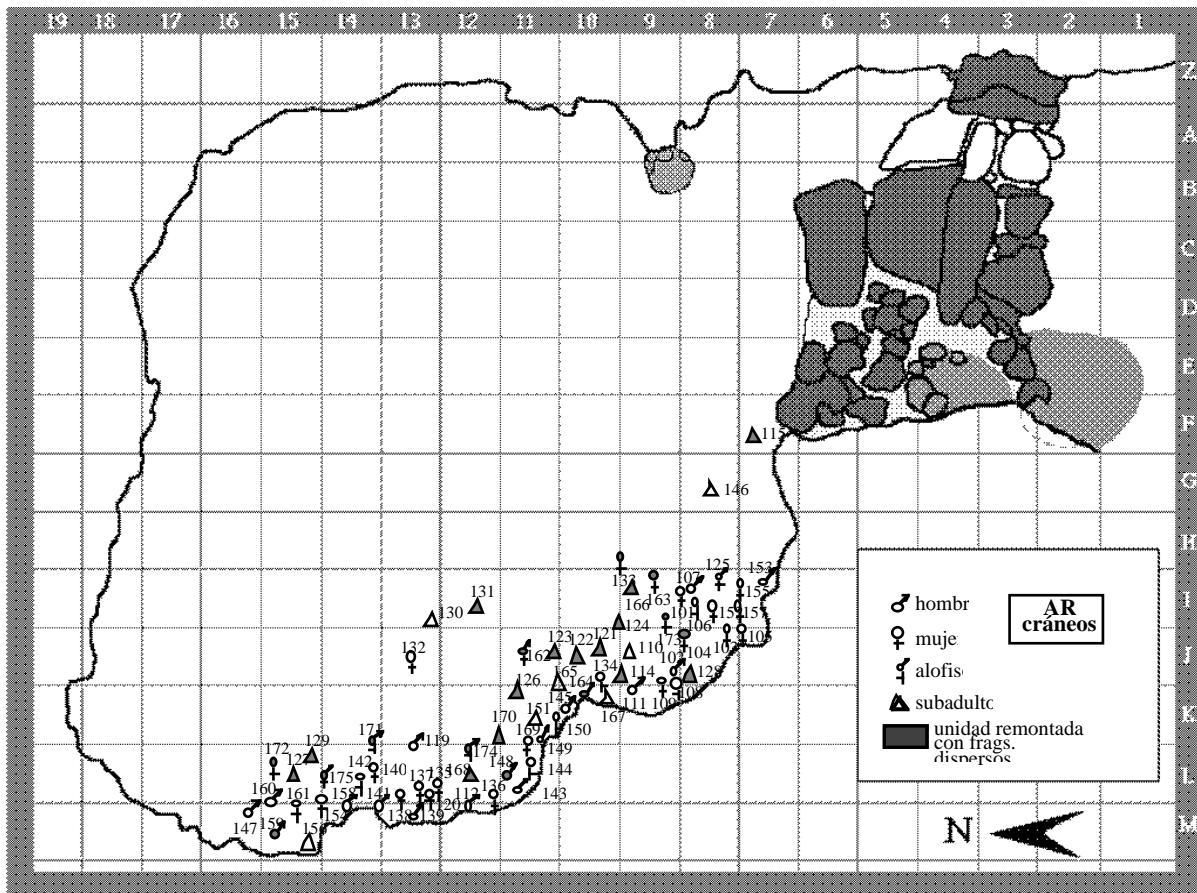


Figura 2.3.b Distribución espacial en F de las unidades craneales remontadas (F).

#### AR-20

Calota de un individuo alofiso joven/maduro ( $\pm 25-50$  años) localizada en el nivel I del cuadro 15 L y en el nivel IV de la rampa 6/7. Se compone de una veintena de elementos mayoritariamente desarticulados del frontal, ambos parietales y temporal izquierdo. El fragmentario estado de conservación ha impedido obtener información de carácter morfológico general o métrico. Presenta una expansión anómala del diploe que en la escama del frontal y en las eminencias de ambos parietales alcanza los 14 mm de espesor.

#### AR-22

Cráneo de un individuo infantil ( $\pm 3-4$  años) cuyo esplancocráneo articulado fue localizado en el nivel I del cuadro 15 G. Los fragmentos de la bóveda con los que fue posteriormente remontado proceden de los niveles I y II de los cuadros 15 G y 16 F y G. Presenta algunas lesiones de hiperostosis porótica en la sutura lambdoidea y en la órbita conservada y el frontal constituye un excelente ejemplo de dentelladas producidas por caninos de carnívoros/carroñeros sobre hueso fresco.

#### AR-25

Restos de 1 cráneo con mandíbula correspondientes a un individuo adulto joven ( $\pm 20-25$  años) de sexo probablemente masculino. El grupo de huesos de la bóveda articulados *in situ* procede del nivel I del cuadro 11 F y fue remontado posteriormente, incluyendo la mandíbula, con fragmentos dispersos localizados en el nivel I del cuadro 11 F y en el nivel IV del cuadro 11. La única estructura que permite una descripción morfológica es el maxilar, de tendencia parabólica. El estado fragmentario de bóveda y cara han impedido la obtención de información métrica. Carece de lesiones patológicas observables.

#### AR-26

Cráneo asociado a esqueleto poscráneo (véase *supra*), correspondiente a un niño o niña de unos 3-5 años. El 90% fue hallado de una pieza en el nivel I del cuadro 11 A. La mandíbula, localizada en el mismo cuadro y nivel, no conservaba su posición anatómica original y sólo pudo verificarse la asociación en los trabajos de laboratorio posteriores. Los elementos del occipital ausentes también fueron hallados durante el remontaje, concretamente la apófisis basilar y las *pars lateralis* inmaduras, que procedían de los niveles II, III y IV de los cuadros 11 C, 11 B y 12 C respectivamente. Presenta hiperostosis porótica moderada exclusivamente en las órbitas (*cribra orbitalia*).

#### AR-28

Cráneo en conexión con mandíbula y esqueleto poscráneo (véase *supra*), correspondiente a un varón adulto joven ( $\pm 30-35$  años). Se halló virtualmente completo y de una pieza en el nivel I del cuadro 13 B. No obstante, fue posible remontar dos piezas ausentes: un fragmento de la sutura esfenotemporal izquierda, que procedía del nivel III del mismo cuadro, y el M2 inferior derecho. Morfológicamente destaca la presencia de carena sagital, perfil en norma superior de contorno elipsoide y arcada alveolar de tendencia parabólica, órbitas cuadradas que se ajustan a un índice mesoconco (medianas) y nariz aguilena y estrecha (leptorino). Los índices métricos obtenidos lo definen como dolicoocráneo, ortocráneo (altura mediana), metriocráneo (anchura mediana) y prognato (de perfil saliente). En el apartado paleopatológico destacan las fuertes inserciones musculares y el gran desarrollo a nivel de la articulación temporomandibular, artritis en los cóndilos occipitales, osificación del cartílago tiroideo (hallado *in situ*) y abundante sarro calcificado.

#### AR-31

Cráneo virtualmente completo correspondiente a un niño o una niña de 7-8 años. El núcleo articulado consiste en parte de lado izquierdo de la bóveda y la cara (frontal, parietal, cigomático y hemimaxilar) procedente del nivel I del cuadro 13 A. Posteriormente pudo completarse con una veintena de fragmentos localizados en los niveles II, III y VI de los cuadros 11, 12 y 13 A, B y C. Es de morfología muy grácil, con una cara alta y notablemente estrecha y senos parietales muy prominentes. Presenta una potente placa de sarro en ambos m2 y *cribra orbitalis* aguda y activa en ambas órbitas.

#### AR-32

Cráneo con mandíbula asociada correspondiente a un varón adulto maduro ( $\pm 35-50$  años). El núcleo articulado corresponde a un fragmento de la bóveda posterior hallado en el nivel I del cuadro 14 A. El remontaje ha permitido completar gran parte de bóveda y cara, incluyendo mandíbula, mediante una decena de fragmentos procedentes de los niveles I, II, y III de los cuadros 13 y 14 A. Morfológicamente presenta carena sagital y un contorno en norma superior de trazado elipsoide. Las dimensiones métricas obtenidas sólo han permitido elaborar el índice de altura, que corresponde a un ejemplar cameocráneo

(bajo). En la tabla externa del frontal, cerca de la línea media y de la sutura coronaria (a unos 20 mm de bregma) conserva vestigios de un pigmento de color rojo. Presenta lesiones líticas a nivel del peñasco y degenerativas de carácter artrítico en los cóndilos del occipital.

#### AR-33

Parte de la calota de una mujer adulta joven o madura ( $\pm 20-50$  años). Al igual que en el caso anterior, los fragmentos de la bóveda articulados *in situ* se localizaron en el nivel I del cuadro 14 A mientras que los remontados proceden de los niveles II y III de los cuadros 13 y 14 A. El deficiente estado de conservación impide realizar una descripción morfométrica. Presenta abundantes evidencias de dentelladas producidas por caninos de carnívoros sobre el hueso fresco que siguen el patrón de perforación triangular con depresión y decoloración de las zonas afectadas. Carece de lesiones patológicas observables.

#### AR-34

Calota de un varón maduro-anciano (mayor de 35 años) remontada a partir de una docena de fragmentos desarticulados procedentes de los niveles I, II y II de los cuadros 15 y 16 A y B. El contorno de la bóveda en norma superior es de trazado pentagonoide y en norma lateral cuenta con un pronunciado torus occipital. Carece de información de carácter métrico. Presenta una trepanación *in vivo* practicada mediante barrenado en el seno derecho del frontal. Se trata de una perforación pseudocircular conservada en algo más del 75% de su perímetro y con evidentes signos de cicatrización.

#### AR-35

Calota muy fragmentaria de un varón adulto joven o maduro ( $\pm 20-50$  años). Está constituida por una pequeña porción de la bóveda posterior compuesta a partir de fragmentos desarticulados procedentes de los niveles I y II de los cuadros 18 y 19 A. El deficiente estado de conservación ha impedido obtener información de carácter morfométrico. Presenta una peculiar adición ósea endocraneal formada por una especie de circunvalaciones de tejido óseo que siguen el recorrido de la arteria meníngea media a lo largo de la sutura sagital y el de los surcos occipital y transverso. También se detecta un osteoma en placa ectocraneal, de unos 10 mm de diámetro, ubicado en el parietal izquierdo a escasa distancia del foramen obelionico.

#### AR-36

Calota de un individuo infantil ( $\pm 2-6$  años) remontada a partir de una decena de fragmentos desarticulados y notablemente dispersos que proceden de los niveles I, II y III de los cuadros 11 A, 12 A, B y C, 13 A y 14 B. La órbita coservada (derecha) constituye un excelente ejemplo de *cribra orbitalia* aguda y activa en el momento de la defunción.

#### AR-41

Calota muy fragmentaria de una mujer adulta (mayor de 20 años) remontada a partir de pequeños fragmentos desarticulados procedentes de los niveles I, II, III, IV y V de los cuadros 14 y 15 E y F y del nivel II de la rampa 7/8 o "covacha". El remontaje se ha visto facilitado por las evidencias de contacto con el fuego en la mayor parte de los fragmentos implicados. La mayoría están semiquemados, pero en el parietal derecho también hay evidencias de calcinación. Carece de lesiones patológicas observables.

#### AR-47

Restos fragmentarios de la calota de un individuo infantil (fallecido probablemente entorno a los 3 años) remontada a partir de pequeños fragmentos desarticulados procedentes de los niveles II y III de los cuadros 15 F y 16 F y G. Presenta lesiones intensas y activas de hiperostosis porótica adyacentes a la sutura lambdoidea.

#### AR-48

Calota fragmentaria de un probable varón adulto, joven o maduro ( $\pm 20-50$  años), restituida a partir de los restos articulados de la bóveda superior localizados en el nivel I del cuadro 17 F. El remontaje sólo ha podido añadir pequeños fragmentos de occipital, parietales y frontal procedentes del mismo cuadro y en los niveles I y II. Presenta un osteoma circular endocraneal de unos 12 mm de diámetro en la escama derecha del frontal, muy próximo a la sutura coronaria.

#### AR-49

Restos muy fragmentarios de la calota de una mujer adulta joven o madura ( $\pm 20-50$  años), compuesta a partir de pequeños fragmentos desarticulados y muy dispersos que proceden de los niveles I, II, IV y V de los cuadros 14 D y E y 15 E, y del nivel III de la rampa 6/7. Al igual que en el caso de AR-41, se trata de restos semiquemados cuyo remontaje se ha visto

facilitado por las evidencias de combustión que, no obstante, no son homogéneas ni alcanzan el estado de calcinación. Carece de lesiones patológicas observables.

#### AR-51

Restos de la calota de un individuo alofiso maduro o anciano (mayor de 35 años) remontados a partir de los fragmentos articulados de la bóveda superior hallados en el nivel I del cuadro 19 A. Se completa con una docena de elementos correspondientes a frontal, parietales y escama del occipital procedentes de los niveles I y II del cuadro 18 A. Carece de lesiones patológicas observables.

#### AR-53

Cráneo con mandíbula asociada perteneciente a un individuo infantil ( $\pm 2$  años). Los fragmentos que lo componen, aunque desarticulados, aparecieron unos sobre los otros en el nivel III del cuadro 16 D. El fragmento de mandíbula asociada y la apófisis basilar inmadura que completan el remontaje proceden del nivel III y I de los cuadros 15 D y 16 C respectivamente. Presenta *cribra orbitalia* con inflamación en la órbita observable (derecha), periostitis en las dos escamas del temporal y abundante calculus en ml superior e inferior.

#### AR-54

Cráneo con mandíbula asociada correspondiente a un individuo infantil fallecido en torno a los 8-9 meses. Como en el caso anterior, se conserva bastante completo aunque fragmentado y la mayor parte de las piezas que lo componen, incluida la mandíbula, aparecieron amontonadas unas sobre las otras en el nivel II del cuadro 17 E. El remontaje ha podido completarse con restos del parietal izquierdo y del hemimaxilar también izquierdo procedentes del nivel III en los cuadros 17 F y 16 E respectivamente, así como con pequeños fragmentos del frontal recuperados en la flotación de sedimentos del nivel I, cuadro 18 D, y del nivel II, cuadro 17 E. Presenta un cuadro patológico caracterizado por una intensa remodelación del endocráneo en prácticamente toda la bóveda en forma de adición de tejido óseo secundario, muy intensa en el recorrido de la arteria meníngea media a lo largo de la sutura sagital pero también en las escamas anexas del frontal, eminencias parietales y senos del occipital. En el ectocráneo se distingue un patrón de periostitis que afecta a la escama anterior del temporal, la línea media del frontal a la altura de glabella, la pared orbital del maxilar superior y cigomático y las ramas mandibulares. Finalmente, también se observa hiperostosis porótica en las eminencias del parietal y adyacente a la sutura lambdoidea.

#### AR-55

Fragmentos de la calota superior de individuo maduro ( $\pm 35-50$  años), probablemente de sexo masculino, restituida a partir de fragmentos desarticulados y dispersos procedentes del nivel I de los cuadros 18 I y J. Carece de lesiones patológicas observables.

#### AR-101

Cráneo incompleto de una mujer joven o madura ( $\pm 30$  a 40 años) recuperado en bloque en el nivel II ( $z = -203$ ) del cuadro 8-9 I (rampa 1). Se le ha restituido el temporal derecho, hallado entre los numerosos fragmentos de huesos craneales que aparecieron en el mismo nivel de la rampa 1. Morfométricamente se trata de un ejemplar hiperdolicoocráneo de perfil ligeramente pentagonoide en norma superior. Presenta un buen ejemplo de *cribra orbitalia* intensa y activa en un individuo adulto, en este caso de sexo femenino.

#### AR-102

Cráneo de un varón maduro ( $\pm 35-50$  años) recuperado en bloque en el nivel II ( $z = -206$ ) del cuadro 8-9 I (rampa 1). Se completa con un pequeño fragmento de la sutura coronaria izquierda a la altura de las líneas temporales procedente del mismo nivel y sector. Cuenta con una gran representación de huesos wormianos, incluido un hueso inca bipartito, contomo elipsoide en norma superior y arcada alveolar de tendencia parabólica. Los índices métricos obtenidos lo definen como un ejemplar lepteno (de cara alta), cameconco (órbitas bajas) y leptorino (nariz estrecha). En el apartado de las patologías destaca un absceso apical a nivel de P1 y pérdida *antemortem* de la dentición posterior (1M y 2M2).

#### AR-103

Cráneo de una mujer joven o madura ( $\pm 20-50$  años) recuperado en bloque aunque en estado muy fragmentario en el nivel II ( $z = -204$ ) del cuadro 8 I-J (rampa 1). El remontaje ha permitido restituir algunos fragmentos del parietal izquierdo y de la escama del occipital procedentes del mismo sector y nivel. El deficiente estado de conservación impide realizar una

descripción morfométrica. Carece de lesiones patológicas observables.

*AR-104*

Cara y parte de la bóveda inferior y lateral de una mujer adulta joven ( $\pm 25-35$  años) recuperada en bloque en el nivel II ( $z = -202$ ) del cuadro 8 I (rampa 1). Se completa con dos fragmentos de la bóveda superior procedentes del nivel III de la rampa 1 y de la rampa 2/3. Presenta una arcada alveolar de tendencia parabólica. Los únicos parámetros métricos mensurables lo definen como un ejemplar cameconco (de órbitas bajas), platirino (nariz estrecha) y prognato (perfil saliente). El maxilar presenta un buen ejemplo de atrición oclusal severa y en plano oblicuo, capaz de arrasar las cúspides linguales y dejar expuesta la cavidad pulpar, vinculada más con hábitos dietéticos y masticatorios que con el desgaste típico de la edad dada su presencia en individuos jóvenes.

*AR-105*

Cara y parte de la bóveda lateral derecha de un individuo adulto joven ( $\pm 20-35$  años) probablemente de sexo femenino, recuperada en bloque en el nivel III ( $z = -217$ ) del cuadro 8 I (rampa 1). La exfoliación de las líneas de fractura antigua ha impedido su remontaje. En norma inferior presenta una arcada alveolar de tendencia parabólica. Los índices craneales obtenidos a partir de las escasas dimensiones medibles lo definen como un ejemplar cameconco (de órbitas bajas) y leptorino (nariz estrecha). En la escama frontal derecha anexa a la sutura coronal media presenta un defecto osteolítico de 22 mm de diámetro, circundado por un anillo que delimita la herida con una intensa remodelación de carácter esclerótico.

*AR-106*

Cráneo virtualmente completo de un individuo maduro ( $\pm 35-50$  años) probablemente de sexo femenino, recuperado en bloque en el nivel III ( $z = -215$ ) en el cuadro 8 I (rampa 1). El remontaje de los pequeños vacíos ha permitido completar la bóveda con dos pequeños fragmentos procedentes del mismo nivel y sector. Morfométricamente se define como un ejemplar mesocráneo de contomo elipsoide en norma superior, mediano tanto en altura (ortocráneo) como en anchura (metiocráneo), con órbitas bajas (cameconco), arcada alveolar parabólica y perfil intermedio (mesognato). Presenta una erosión craneal en el parietal izquierdo a la altura de obelion en forma de rehundimiento circular de 7 mm de diámetro.

*AR-107*

Calota de varón maduro o anciano (mayor de 35 años) restituida a partir de un conjunto de fragmentos que mostraban cierta conexión anatómica el nivel III ( $z = -219$ ) del cuadro 8 I (rampa 1). El remontaje sólo pudo añadirle el temporal izquierdo, procedente del mismo sector y nivel. Presenta un deficiente estado de conservación que impide caracterizarlo morfométricamente. Carece de lesiones patológicas observables.

*AR-108*

Cráneo virtualmente completo, aunque muy fragmentado, con mandíbula asociada y correspondiente a una mujer joven ( $\pm 25-35$  años), recuperado en el nivel III ( $z = -220$ ) del cuadro 8-9 J (rampa 1). Neurocráneo y esplanocráneo conformaban un bloque que descansaba sobre su lado derecho con la cara perfectamente encajada en una oquedad de la pared rocosa, mientras que la mandíbula apareció notablemente desplazada de su posición original. Se trata de un ejemplar notablemente pequeño y grácil, probablemente dolicoocráneo aunque la imposibilidad de medir la anchura máxima impide asegurarlo<sup>24</sup>. El contomo de la bóveda en norma superior es ligeramente esferoide, plano-occipital en norma lateral y la arcada alveolar muestra un trazado parabólico. Carece de lesiones patológicas observables.

*AR-109*

Cráneo virtualmente completo de una mujer fallecida poco antes de alcanzar la edad adulta ( $\pm 17-19$  años) con una marcada gracilidad de rasgos. Fue hallado en un bloque perfectamente articulado del nivel III ( $z = -224$ ) del cuadro 9 J (rampa 1), colocado sobre su base, con la cara orientada hacia el oeste muy cerca de la pared rocosa y en estrecho contacto con AR-111. Presenta *cribra orbitalia* intensa y activa en ambas órbitas.

*AR-110*

Cráneo correspondiente a una niña o niño de unos 8-9 años. Ha sido remontado a partir de una porción articulada de la bóveda posterior que fue hallada en el nivel III ( $z = -222$ ), cuadro 9 J (rampa 1). La veintena de fragmentos añadidos durante

---

<sup>24</sup> La longitud máxima es de 165 mm.

los trabajos de laboratorio proceden de los niveles II y III de este mismo sector. A juzgar por el núcleo de fragmentos conservados en posición anatómica, el cráneo descansaba sobre la coronilla, con boca y foramen magnum orientados hacia el techo de la cueva y la cara en contacto con la pared rocosa. El cuadro patológico se restringe a la incidencia de *cribra orbitalia*.

#### AR-111

Cráneo apenas astillado de un varón maduro o anciano ( $\pm 45-55$  años) recuperado en un sólido bloque perfectamente articulado en el nivel III ( $z = -222$ ) del cuadro 9 J (rampa 1). Morfométricamente se trata de un ejemplar doliocráneo de contomo ovoide en norma superior, órbitas bajas (cameconco) y nariz mediana (mesorino); cuenta con índices medios en cuanto a altura y anchura de la bóveda (otocráneo y metiocráneo respectivamente) y altura de la cara (meseno) y presenta un marcado torus occipital en norma lateral, arcada alveolar de trazado upsiloide y perfil saliente (prognato). En el apartado de las patologías destaca la pérdida *antemortem* de 6 piezas de la dentición posterior, un absceso a la altura de P1 y una zona de intensa reabsorción ósea activa y esclerótica en ambas articulaciones temporomandibulares.

#### AR-112

Cráneo de un varón joven ( $\pm 19-10$  años) recuperado en el nivel III ( $z = -244$ ) del cuadro 12 L (rampa 4/5). Se halló en bloque aunque parcialmente fragmentado y con parte de la bóveda superior notablemente desplazada y encajada en un recoveco de la pared rocosa, circunstancia responsable de la desintegración de gran parte de la estructura rino-ocular. Descansaba sobre su base y, originalmente, la cara tuvo que estar en contacto con la pared de la cueva. Morfométricamente se trata de un ejemplar que presenta un perfil ovoide en norma superior y ligera carena sagital en norma anterior, doliocráneo, estrecho (acrocráneo) y de mediana altura (otocráneo), con nariz estrecha (leptorino) y arcada alveolar de tendencia upsiloide. Presenta un trepanación en la escama derecha del frontal, muy próxima a la línea media y a apenas 20 mm de la sutura coronaria, que fue practica *in vivo* mediante abrasión y barrenado dejando un orificio oval de 48 mm de diámetro máximo cuyos bordes muestran evidentes señales de cicatrización. Pese a su corta edad, también es notable el patrón artrítico detectado en los cóndilos occipitales, especialmente en el tramo posterior de la superficie articular.

#### AR-114

Cráneo con mandíbula asociada de un niño o una niña fallecido en torno a los 7 años. Fue recuperado en bloque, aunque parcialmente fragmentado, en el nivel III ( $z = -223$ ) del cuadro 9 J (rampa 1). Posteriormente pudo remontarse el temporal izquierdo que procede del mismo nivel pero ya en la rampa 2. El bloque articulado descansaba sobre la coronilla, con la cara en contacto con el lateral derecho de otro cráneo (AR-111) y la mandíbula cubierta por el sedimento que rellenaba el interior de la bóveda. Presenta *cribra orbitalia* muy aguda con inflamación del techo orbital conservado.

#### AR-115

Calota de un individuo subadulto recuperada en el nivel III ( $z = -160$ ) del cuadro 7 F, correspondiente al talud de acceso a la fosa desde la entrada a la cueva. El bloque de huesos articulados ha podido completarse con parte del frontal recuperado en el nivel III del cuadro 9 J, en la misma rampa 1 y en contacto con restos del bloque craneal designado AR-114. Presenta incidencia leve de *cribra orbitalia*.

#### AR-119

Cráneo de un varón maduro o anciano ( $\pm 40-55$  a) recuperado en un bloque sólidamente articulado en el nivel III ( $z = -251$ ) del cuadro 13 K (rampa 4/5). Se encontraba virtualmente completo aunque astillado a la altura de las órbitas y la región rinomaxilar. Descansaba sobre su coronilla con la cara orientada hacia el norte y el lateral derecho paralelo a la pared de la cueva aunque no en contacto, sino a unos 50 cm de ésta. Las características morfométricas observables permiten definirlo como un ejemplar doliocráneo, cameocráneo y metiocráneo, de contomo ovoide en norma superior y arcada alveolar parabólica. Presenta lesiones de carácter artrítico en la superficie articular posterior de los cóndilos del occipital y en la articulación temporomandibular, así como 3 pequeños osteomas en placa ubicados en la pared ectocraneal de ambos parietales y pérdida *antemortem* de 6 piezas de la dentición tanto anterior como posterior.

#### AR-120

Cráneo de un individuo maduro/anciano ( $\pm 45-55$  años) probablemente de sexo femenino, recuperado en un bloque sólidamente articulado del nivel III ( $z = -253$ ), cuadro 13 L (rampa 4/5). Descansaba sobre la frente y la nariz y presentaba el lateral izquierdo perfectamente encajado en la pared rocosa mediante la presión que ejercía un fémur por el lateral derecho

y que parece haber sido responsable de su extensa fragmentación. Las características morfométricas observables permiten definirlo como un ejemplar de tendencia alargada (dolicoocráneo) y contomo ovoide en norma superior, bajo y de anchura media (cameocráneo y metriocráneo), con las órbitas también bajas (cameconco), la nariz estrecha (leptomino), arcada alveolar de trazado parabólico y mesognato (perfil medio, ni recto ni saliente). Presenta una lesión osteolítica esclerótica en la escama derecha del frontal, ligera artritis en la superficie articular de ambos cóndilos occipitales, y un patrón patológico oral que combina caries, abscesos internos y externos y pérdida de piezas *antemortem*.

*AR-121*

Calota de un individuo infantil fallecido entre los 5 y 7 años remontada a partir de fragmentos desarticulados procedentes de los niveles II y III de la rampa 1 y del nivel III de la rampa 2. Carece de lesiones patológicas observables.

*AR-122*

Calota muy fragmentaria de un individuo infantil remontada a partir de fragmentos desarticulados procedentes del nivel III de la rampa 1 y del nivel IV de la rampa 2/3. Presenta una lesión patológica de aspecto similar a la detectada en los cráneos AR-35 y AR-54, aunque en lugar de adición de tejido secundario en forma de circunvalaciones se manifiesta en forma de reabsorción y no sigue el recorrido de las arterias meníngeas sino que se concentra en las eminencias parietales irradiando hacia la sutura escamosa y la sagital.

*AR-123*

Calota de un individuo infantil remontada a partir de fragmentos desarticulados procedentes del nivel III de las rampas 1 y 2/3. Carece de lesiones patológicas observables.

*AR-124*

Restos de la calota de un individuo infantil fallecido en los primeros 6 meses de edad. Pese a que algunos fragmentos de ambos parietales y occipital no presentaban conexión anatómica alguna aparecieron asociados entre sí en el nivel III de la rampa 1 que delataba su pertenencia a un mismo individuo. El resto de los fragmentos remontados proceden de los niveles II y III de la rampa 1 y del nivel III de la rampa 2/3. Presenta defectos de formación ósea así como hiperóstosis porótica junto a la sutura lambdoidea.

*AR-125*

Calota fragmentaria de un individuo alofiso y adulto (mayor de 20 años). Tanto el grupo de huesos hallados en posición anatómica como los elementos remontados proceden del nivel II (z= -206) cuadro 8 I (rampa 1). El deficient estado de conservación de este ejemplar impide caracterizarlo morfométricamente. Carece de lesiones patológicas observables.

*AR-126*

Restos de la calota de un individuo infantil (mayor de 2 años) remontados a partir de fragmentos desarticulados procedentes del nivel III de la rampa 2/3 y del nivel II de la rampa 7/8 o "covacha". Presenta el mismo patrón patológico de reabsorción ósea endocraneal en forma de circunvalaciones que el cráneo identificado mediante la sigla AR-122.

*AR-127*

Calota fragmentaria de un individuo juvenil remontada a partir de elementos procedentes del nivel III de la rampa 1 y del nivel II de la rampa 7/8 o "covacha". Carece de lesiones patológicas observables.

*AR-128*

Calota fragmentaria de un individuo subadulto remontada a partir de elementos procedentes de los niveles II y III de la rampa 1. No presenta lesiones patológicas observables.

*AR-129*

Calota muy fragmentaria de un individuo infantil fallecido durante los 2 primeros años de vida remontada a partir de elementos desarticulados procedentes del nivel I de la rampa 2/3, del nivel II de las rampas 6/7 y 7/8 y del nivel III de las rampas 1 y 2/3. Carece de lesiones patológicas observables.

*AR-130*

Cráneo de un individuo juvenil ( $\pm 17-18$  años) hallado en el nivel IV ( $z = -217$ ) cuadro 12-13 I-J (rampa 4/5) y completado con un cigomático derecho procedente del mismo sector y nivel. El bloque articulado descansaba sobre la coronilla, con la nuca orientada hacia el oeste y la cara hacia el este aunque bastante alejada de la pared de la cueva. Morfológicamente resulta extremadamente ancho en norma anterior y posterior y excesivamente pequeño en su altura máxima. Estas características unidas a unas tuberosidades o eminencias parietales muy marcadas y de aspecto infantil le confieren un aspecto anormalmente achatado. Por su posición resulta altamente probable que “cayera” desde el piso superior de la Sala 1 como consecuencia del desplome del borde limítrofe con la fosa y quizás el acusado aplastamiento superoinferior y ensanchamiento transversal sea una deformación *postmortem* causada por el peso del sedimento que tuvo que soportar cuando todavía no había sido reducido a hueso seco. Por otra parte, cabe señalar la presencia de hiperóstosis porótica adyacente a lambda y un rehundimiento anómalo en torno a obelion.

#### AR-131

Calota fragmentaria de un individuo subadulto (mayor de 6 y menor de 20 años). Los elementos articulados fueron recuperados en el nivel IV ( $z = -221$ ) cuadro 12 I (rampa 4/5), mientras que los remontados proceden del nivel III de la rampa 2/3. La información sobre el contexto y posición de los huesos articulados y remontados permite pensar que este cráneo se hallaba desplazado de su posición original. Mientras que el bloque articulado (formado por el frontal y la pared derecha de la bóveda) descansaba sobre su coronilla con la cara orientada hacia la pared de la cueva aunque bastante alejada de la misma, la base del cráneo y el lateral izquierdo aparecieron por encima (en un nivel superior) y a la derecha del bloque articulado. Presenta una *cribra orbitalia* muy severa y activa.

#### AR-132

Calota muy fragmentaria de un individuo de sexo probablemente femenino fallecido en edad madura ( $\pm 35-50$  años). El conjunto de huesos en posición anatómica fue detectado en el nivel IV ( $z = -243$ ) del cuadro 13 J (rampa 4/5). Los fragmentos remontados proceden del mismo nivel y sector. Por la posición de los restos extraídos en bloque es posible deducir que se hallaba desplazado de su posición original, seguramente en el piso superior. Desde allí cayó a la fosa de tal forma que el peso de la bóveda acabó por aplastar la región facial y desgajar el maxilar, el cual se desprendió bruscamente y quedó colocado boca arriba y a la derecha del conjunto principal. El deficiente estado de conservación impide ofrecer una descripción morfométrica. En el ámbito de las patologías destaca una depresión oval osteolítica de 7 mm de diámetro máximo alojada en el parietal derecho, muy próxima a asterion, con claros signos de remodelación.

#### AR-133

Cráneo de una mujer joven/madura ( $\pm 30-40$  años) recuperado en el nivel IV ( $z = -239$ ) del cuadro 9-10 I-J (rampa 2/3). El bloque de huesos en posición anatómica apareció chafado sobre sí mismo aunque pudo remontarse fácilmente y añadirle un par de fragmentos desarticulados pero muy próximos a él. Gracias al registro de campo fue posible averiguar que el cráneo descansaba originalmente sobre su base con la cara orientada hacia el noroeste aunque a unos 40 cm de la pared de la cueva y perfectamente encajado entre unas piedras irregulares y de gran tamaño. Se trata de un ejemplar mesocráneo de contomo ovoide en norma superior, arcada alveolar de trazado parabólico y perfil plano-occipital en norma lateral. Presenta una severa deformación del contomo de la bóveda en forma de hundimiento en la zona de confluencia occipitoparietomastoidea derecha capaz de desplazar hacia adelante las estructuras óseas del lado izquierdo de forma que apófisis mastoides, maxilar y órbita presentan una desviación de 5 a 20 grados respecto a los puntos homónimos del lado derecho. La total ausencia de evidencias de reacción ósea permite pensar que se trata de una deformación *postmortem* de tipo tafonómico. Presenta evidencias de *cribra orbitalia* cicatrizada y un cuadro patológico bucal que combina un absceso apical del canino derecho, abundante pérdida bilateral de piezas *antemortem* y reabsorción de la arcada alveolar izquierda con acortamiento del perfil del cuerpo maxilar.

#### AR-134

Cráneo de una mujer adulta joven ( $\pm 20-35$  años) recuperado de una sola pieza pero muy agrietado en el nivel IV ( $z = -237$ ) del cuadro 10 J (rampa 2/3) y completado con un pequeño fragmento desarticulado aunque muy próximo al bloque. Descansaba sobre el lado izquierdo con la cara orientada hacia el sur, muy cerca de la pared de la cueva aunque no en contacto con ella, directamente sobre un conjunto de varios huesos largos con algunas de las piedras blancas características del empedrado a su alrededor. Los escasos datos morfométricos obtenidos lo definen como un ejemplar dolicoocráneo de contomo ovoide en norma superior, con carena sagital, perfil nasal típicamente aguileño y arcada alveolar de trazado parabólico. Presenta *cribra orbitalia* activa y cicatrizada y un osteoma en placa de 11 mm de diámetro alojado en el parietal

derecho muy cerca de bregma.

#### AR-135

Cráneo de una mujer madura ( $\pm 40-50$  años) recuperado en un sólido bloque articulado en el nivel IV ( $z = -289$ ) del cuadro 13 L (rampa 4/5). Descansaba sobre su base, en contacto directo con la calota siglada como AR-139, con la cara orientada hacia el sudoeste y perfectamente encajado en la pared rocosa. Morfométricamente se define como un ejemplar hiperdolicocráneo de contomo ovoide en norma superior, bajo y ancho (cameocráneo y tapeinocráneo), dotado de carena sagital y un perfil lateral plano-occipital, con órbitas bajas (cameconco), arcada alveolar de trazado elíptico y perfil saliente (prognato). Presenta un osteoma sesil en forma de proyección exostósica de 6 mm de diámetro y 3 de altura en la escama izquierda del occipital, a 4 mm de la sutura lambdoidea y 12 de asterion.

#### AR-136

Cráneo fragmentario de un individuo alofiso maduro (40-50 años) recuperado en bloque, aunque bastante cuarteado e incompleto, en el nivel IV ( $z = -268$ ) del cuadro 12 L (rampa 4/5). Posteriormente se le añadió un pequeño fragmento de frontal desarticulado pero muy próximo al conjunto de cráneos 136/139. Su deficiente estado de conservación impide realizar una descripción morfométrica. Descansaba en posición prona directamente sobre la cara, con la coronilla orientada hacia el sur y la base hacia el norte, perfectamente encajado en un recoveco de la pared rocosa mediante pequeñas piedras y huesos largos. Carece de lesiones patológicas observables.

#### AR-137

Cráneo de una mujer adulta joven o madura ( $\pm 30-40$  años) recuperado de una pieza en un bloque algo fragmentado. Procede del nivel IV ( $z = -266$ ) del cuadro 13 L (rampa 4/5). Descansaba sobre el lateral izquierdo, parcialmente apoyado sobre la bóveda del cráneo AR-138, con la cara orientada hacia el norte y la coronilla calzada mediante pequeñas piedras en el pequeño espacio que lo separaba de la pared rocosa. Morfométricamente se define como un ejemplar dolicocráneo, ortocráneo y acrocráneo (alargado, mediano y estrecho), de contomo ovoide en norma superior y con carena sagital en norma anterior, arcada alveolar de tendencia parabólica, leptorrino (nariz estrecha) y prognato (perfil saliente). Presenta *cnibra orbitalia* activa y cicatrizada y lesiones de carácter artúrico en la superficie articular de los cóndilos occipitales.

#### AR-138

Cráneo incompleto de una mujer adulta joven o madura ( $\pm 30-40$  años) recuperado de una pieza en el nivel IV ( $z = -272$ ) del cuadro 13 L (rampa 4/5). Descansaba sobre su base, con la cara orientada hacia el noroeste y parcialmente bajo el cráneo AR-137, perfectamente encajado en la pared rocosa. Los índices métricos obtenidos son los de un ejemplar mesocráneo y leptorrino que morfológicamente presenta un contomo elipsoide en norma superior y una arcada alveolar de tendencia parabólica. Entre las patologías observables se incluye una considerable placa de calculus en la superficie bucal de la dentición posterior y caries cervical en 2M2.

#### AR-139

Calota muy fragmentaria de un varón joven o maduro ( $\pm 20-50$  años) recuperada en un bloque fragmentario aunque articulado en el nivel IV ( $z = -275$ ) del cuadro 13 L (rampa 4/5). Descansaba sobre su base en contacto directo con la bóveda superior del cráneo AR-135, perfectamente encajado entre éste y un saliente rocoso de la pared de la cueva. Por las características de los restos conservados y su propia colocación es posible proponer que ya se trataba de una calota cuando fue colocada en este lugar a fin de estabilizar el conjunto de cráneos depositado previamente en este sector. Presenta una gran incisión en el surco de la arteria meníngea media que discurre paralelo a la sutura coronaria; alcanza los 4 mm de anchura y concomita con grandes granulaciones aracnoideas en el punto más próximo a bregma.

#### AR-140

Cráneo de un individuo alofiso maduro ( $\pm 40-50$  años) recuperado en un bloque fragmentario aunque articulado en el nivel IV ( $z = -296$ ) del cuadro 14L (rampa 6/7) y remontado con un pequeño fragmento de cigomático procedente del mismo sector y nivel. Apareció encajonado junto al cráneo AR-141 en la pared rocosa mediante la ayuda de piedras pequeñas. Estaba colocado en posición prona con la cara en contacto directo con el lateral derecho del cráneo AR-142, la coronilla orientada hacia el suroeste y la base hacia el noreste. Morfológicamente presenta un contomo ovoide en norma superior, arcada alveolar de tendencia parabólica y torus occipital. El único índice craneal que ha podido obtenerse es el nasal, que lo define métricamente como mesorrino (de nariz estrecha). Muestra un interesante cuadro patológico bucal que combina un gran

absceso apical a nivel de P2, caries oclusal en Cx, atrición oclusal oblicua con exposición de la cavidad pulpar en las piezas del lado izquierdo, potentes placas de calculus y robustas líneas de inserción de ligamentos en el ala mayor de ambos esfénoides. También destacan onificios fistulosos bilaterales a nivel del peñasco y lesiones artríticas en la superficie articular del cóndilo occipital conservado.

#### AR-141

Calota de un varón anciano (mayor de 50 años) recuperada en un bloque fragmentario aunque articulado en el nivel IV ( $z = -294$ ) del cuadro 14 L (rampa 6/7). Descansaba sobre su base con la cara orientada hacia el este y la nuca en contacto directo con el temporal izquierdo del cráneo AR-140. Ambos bloques, rodeados de piedras que estabilizaban su posición, aparecieron perfectamente encajados en la pared rocosa de la cueva. El deficiente estado de conservación de este ejemplar impide describirlo morfométricamente. Representa uno de los escasos ejemplos de *cribraorbitalia* cicatrizada en un individuo adulto de sexo masculino.

#### AR-142

Cráneo de un individuo alofiso anciano (mayor de 50 años) recuperado en un sólido bloque articulado en el nivel IV ( $z = -308$ ) del cuadro 14 L (rampa 6/7). Descansaba sobre su lado izquierdo, por encima y en contacto con la órbita derecha del cráneo AR-154. La cara estaba orientada hacia el norte y la coronilla en contacto directo con la pared de la cueva. Esta posición parece ser la responsable del ligero hundimiento de la bóveda a nivel de la línea media del frontal en su región posterior. Morfométricamente se define como un ejemplar hiperdolicocráneo, cameocráneo y acrocráneo (muy alargado, mediano y estrecho), de contorno ovoide en norma superior, arcada alveolar parabólica, órbitas altas (hipsiconco) y perfil saliente (prognato), y dotado de carena sagital y torus occipital. Presenta lesiones de carácter artrítico en la superficie articular de los cóndilos occipitales con extensión de su perímetro en dirección posterolateral y pérdida *antemortem* de 4 piezas dentarias con acusada reabsorción alveolar.

#### AR-143

Cráneo de un varón maduro ( $\pm 35-50$  años) recuperado en un bloque algo fragmentado aunque perfectamente articulado en el nivel IV ( $z = -245$ ) del cuadro 11 K-L (rampa 2/3). Descansaba sobre su lado izquierdo, con la cara orientada hacia el oeste y en contacto con la pared de la cueva, cuidadosamente calzado con piedras, y la coronilla en contacto con la nuca del cráneo AR-144. Morfométricamente se trata de un ejemplar mesocráneo, cameocráneo (bajo) y tapeinocráneo (ancho), de órbitas bajas (cameconco), nariz ancha (platinino) y perfil saliente (prognato), con carena sagital, torus occipital, contorno ovoide en norma superior y trazado parabólico de la arcada alveolar. Presenta una notable pérdida de piezas *antemortem* y una atrición severa oclusal en plano cóncavo con exposición de la raíz lingual y cavidad pulpar. También se detectan lesiones artríticas en la superficie articular de los cóndilos occipitales.

#### AR-144

Cráneo de una mujer anciana (mayor de 50 años) recuperado en un bloque bastante fragmentario aunque perfectamente articulado en el nivel IV ( $z = -256$ ) del cuadro 11 K-L (rampa 2/3). Descansaba sobre su lado derecho con la cara orientada hacia el sudeste y la nuca calzada con pequeñas piedras que lo separaban de la pared de la cueva. Se hallaba en contacto directo y por encima de la frente del cráneo AR-149 conformando la hilada superior de una columna compuesta por cuatro cráneos (AR-144, 149, 150 y 151). El estado fragmentario de sus elementos sólo permite utilizar dos índices métricos para tipificarlo: cameconco (órbitas bajas) y platinino (nariz ancha). Presenta un cuadro patológico bucal similar al de otros ejemplares (aunque en este caso parece más determinado por la edad) que combina abscesos, pérdida de piezas *antemortem*, severa atrición oclusal y lesiones artríticas de la articulación temporomandibular.

#### AR-145

Cráneo de un varón adulto joven ( $\pm 20-25$  años) recuperado en un sólido bloque articulado en el nivel IV ( $z = -252$ ) del cuadro 10 K (rampa 2/3). Descansaba sobre su coronilla, con la cara orientada hacia el oeste casi en contacto con la pared de la cueva y cuidadosamente calzado mediante piedras pequeñas. Morfológicamente destaca la presencia de carena sagital y torus occipital, el contorno plano-occipital de la bóveda posterior y ovoide en norma superior. Los parámetros métricos permiten caracterizarlo como un ejemplar mediano en cuanto a expansión de la bóveda, altura e índice nasal (mesocráneo, ortocráneo y mesorrino), de notable anchura (acrocráneo) y órbitas altas (hipsiconco). Presenta leves evidencias de hiperostosis porótica anexas a las líneas temporales, sutura sagital y sutura lambdoidea así como en la escama occipital. También es de destacar un pequeño osteoma en placa de 6 mm de diámetro ubicado en la pared ectocraneal de la escama izquierda del frontal, a 13 mm de la sutura coronal y a 17 mm de la línea temporal superior.

#### AR-146

Cráneo fragmentario de una niña o un niño fallecido en torno a los 7-8 años y recuperado en bloque aunque muy exfoliado y deteriorado. Procede del nivel IV ( $z = -208$ ) del cuadro 8 G (rampa 1), en pleno talud de acceso a la fosa desde la entrada a la cueva y ocupando una especie de “escalón” formado por las arcillas estériles que conforman la matriz sedimentaria natural de la cueva. El único fragmento remontado procede de sus inmediaciones. Descansaba sobre su base, con la cara orientada hacia el oeste. Presenta severas evidencias de hiperostosis porótica tanto en la bóveda como en las órbitas (*cribra orbitalia*), así como un patrón de adición ósea con crecimiento en forma de circunvalaciones que afecta la pared endocraneal del frontal, ambos parietales y que, a diferencia de otros casos comentados, no se distribuye siguiendo el recorrido de las ramificaciones de las arterias meníngeas.

#### AR-147

Cráneo de un individuo maduro ( $\pm 35-50$  años) probablemente de sexo masculino. Fue recuperado en un sólido bloque articulado en el nivel IV ( $z = -296$ ) del cuadro 16 L (rampa 7/8 o “covacha”). Descansaba sobre su lateral derecho con la cara orientada hacia el sur y la coronilla apoyada sobre un pequeño saliente de la pared rocosa. A nivel morfológico presenta un contomo pentagonoide en norma superior y una arcada alveolar de trazado parabólico. Los índices métricos obtenidos corresponden a un ejemplar doliocráneo, camecráneo, metiocráneo, eurieno, cameconco, leptorino y prognato. Presenta *cribra orbitalia* moderada y cicatrizada, trauma totalmente cicatrizado en la escama frontal izquierda posterior, artritis en los cóndilos occipitales y lesiones bucales en forma de abscesos, caries y pérdida de piezas *antemortem*.

#### AR-148

Calota de un individuo adulto (mayor de 20 años) de sexo probablemente masculino. Los fragmentos articulados de la bóveda proceden del nivel IV ( $z = -240$ ) cuadro 11-12 L (rampa 2/3), mientras que el fragmento del parietal derecho remontado apareció en el nivel III asociado al cráneo AR-115 (cuadro 7 F) y el de la escama del occipital en el nivel IV de la rampa 4/5. Estos datos permiten plantear que los restos articulados que aparecieron encajados en la pared rocosa ya presentaban ese estado fragmentario cuando fueron colocados allí. El deficiente estado de conservación impide caracterizarlo morfométricamente. En el apartado de las patologías destaca la presencia de un pequeño osteoma en placa próximo a obelion en el parietal derecho y lesiones de carácter artrítico moderado en la articulación temporomandibular conservada.

#### AR-149

Cráneo completo de un varón maduro ( $\pm 35-50$  años) hallado de una pieza en un bloque perfectamente articulado procedente del nivel IV ( $z = -272$ ) cuadro 10-11 K-L (rampa 2/3). Apareció colocado sobre su base con la cara orientada hacia el norte y perfectamente encajonado junto a la pared de la cueva, por debajo y en contacto directo con el cráneo AR-144. Morfológicamente presenta un contomo elipsoide en norma superior, arcada alveolar de trazado parabólico y torus occipital. Los índices métricos corresponden a un ejemplar doliocráneo, camecráneo, tapeinocráneo, eurieno, cameconco, mesorino y prognato. Presenta una lesión en la escama posterolateral del frontal derecho formada por un núcleo osteolítico remodelado y rodeado por una estela semilunar que delimita la zona afectada. También cuenta con un pequeño osteoma en placa en la escama posterior del frontal próximo a la línea media, lesiones artríticas en la superficie articular posterior de los cóndilos occipitales, y un cuadro patológico bucal similar al comentado en otras ocasiones con manifestación de absceso, pérdida de piezas *antemortem* con intensa reabsorción alveolar, y estrés masticatorio manifestado en las líneas de inserción de ligamentos de las alas mayores del esfenoides y en ambas articulaciones temporomandibulares.

#### AR-150

Cráneo de una mujer joven o madura ( $\pm 30-40$  años) hallado de una pieza en el nivel IV ( $z = -286$ ) cuadro 10-11 K-L (rampa 2/3). Descansaba sobre su base con la cara orientada hacia el sur y el lateral derecho muy próximo a la pared de la cueva. Apareció en contacto directo e inmediatamente por debajo del cráneo AR-140 mientras que su base reposaba sobre parte de la bóveda posterior del cráneo AR-151. Constituye así la tercera hilada de la columna de cráneos formada de arriba a abajo por AR-144, 149, 150 y 151. Morfológicamente presenta un contomo ovoide en norma superior, carena sagital en norma anterior y arcada alveolar de trazado parabólico en norma inferior. Los índices métricos lo definen como un ejemplar mesocráneo, ortocráneo, metiocráneo, cameconco, platirino y prognato. Presenta pérdida *antemortem* de un incisivo y atrición demasiado severa de la única pieza conservada *in situ* en para la edad que tenía esta mujer cuando falleció. También cabe señalar una lesión cicatrizada en el parietal izquierdo probablemente consecuencia de un trauma y un pequeño osteoma en el segmento anteromedial del parietal derecho.

#### AR-151

Cráneo de un individuo juvenil (mayor de 11 y menor de 18 años) conservado de una pieza aunque parcialmente fragmentado y astillado. Procede del nivel IV ( $z = -301$ ) del cuadro 10-11 K/L (rampa 2/3) y se halló colocado sobre la región anterolateral izquierda muy próximo a la pared de la cueva y casi paralelo a ella. Por la posición que ocupa en la última hila de una columna de cuatro cráneos perfectamente superpuestos es muy posible que originalmente descansara sobre su base pero acabara inclinándose hacia adelante por el peso que tuvo que soportar ante la ausencia de piedras u otros huesos que lo calzaran debidamente. Esta también es la explicación más probable para la deformación de la bóveda que presenta una notable asimetría a la altura de las protuberancias parietales (con la derecha más avanzada respecto a la izquierda) y un rehundimiento de la escama occipital derecha, justo en los puntos de máxima presión como consecuencia de la posición que acabó adoptando este cráneo joven bajo el peso de los otros tres que se hallaban por encima de él. Presenta el cuadro patológico que ya se ha citado en otras ocasiones (véase por ejemplo, AR-54) en forma de adición ósea con respecto de circunvalaciones que siguen el recorido de las arterias meníngeas, así como una aguda reacción del periosteo en la escama del temporal izquierdo.

#### AR-152

Cráneo muy incompleto de una mujer joven o madura ( $\pm 25-50$  años) hallado en forma de amasijo de fragmentos chafados sobre sí mismos en el nivel IV ( $z = -247$ ) del cuadro 8 I (rampa 1). Los únicos restos articulados corresponden a la bóveda superolateral izquierda, mientras que el resto apareció asociado a este grupo aunque notablemente desplazado de su posición original. El conjunto apareció por debajo de un montón de huesos y piedras caídas. Él mismo parecía también “caído” desde un nivel superior y quizás “frenado” por la pared de la cueva con la que estaba en contacto. Pese a que no puede descartarse que el lugar que ocupaba fuera más o menos el elegido en el ritual de inhumación secundaria sí parece obvio que sufrió un desplazamiento causado por la fuerte caída de huesos y piedras que siguió al colapso de parte del piso superior. En tal caso, lo más probable es que el cráneo se hubiera colocado sobre su base con la cara orientada hacia la pared de la cueva. El deficiente estado de conservación impide describirlo morfométricamente. Carece de lesiones patológicas observables.

#### AR-153

Cráneo de un varón maduro ( $\pm 35-50$  años) conservado de una pieza aunque fragmentado y astillado. Procede del nivel IV ( $z = -272$ ) del cuadro 7 I (rampa 1) y se halló colocado sobre su lateral izquierdo, con la cara orientada hacia el sur y la arcada dentaria y la base del cráneo encajados en un recoveco de la pared rocosa. Se trata de un ejemplar dolicoocráneo, dotado de carena sagital, ovoide en norma superior y con trazado parabólico de la arcada alveolar. Presenta pérdida *antemortem* de dos molares, gran número de diminutos osteomas repartidos entre el frontal y los dos parietales.

#### AR-154

Cráneo incompleto de una mujer joven o madura ( $\pm 30-40$  años) conservado de una pieza aunque extensamente fragmentado y astillado. Procede del nivel IV ( $z = -321$ ) del cuadro 14-15 L (rampa 6/7). Descansaba sobre la nuca con la cara orientada hacia el techo de la cueva, la coronilla al sudeste y con el lateral izquierdo completamente encajado en la cornisa de la pared de la cueva ocupando una concavidad que se ajustaba perfectamente a su perfil. Sobre la órbita derecha, que escapaba a la protección de dicha cornisa, reposaba el parietal izquierdo del cráneo AR-142. Esta posición parece haber sido la responsable del deterioro de los huesos del lado derecho. El contomo en norma superior no es observable, aunque sí el del trazado de la arcada alveolar, que se ajusta al modelo elíptico. Los únicos índices métricos obtenidos los definen como un ejemplar de nariz ancha (platirino) y perfil saliente (prognato). Entre los restos conservados es posible observar un osteoma en placa en el parietal izquierdo, muy próximo al punto medio de la sutura sagital, y fuertes inserciones del músculo pterigoideo externo en el ala mayor del esfenoideo conservado.

#### AR-155

Cráneo incompleto de una mujer madura ( $\pm 40-50$  años) conservado de una pieza aunque extensamente fragmentado y astillado. Procede del nivel IV ( $z = -281$ ) del cuadro 7-8 I (rampa 6/7) y pudo completarse con algunos fragmentos desarticulados hallados también en el nivel IV de los cuadros 7 I y 9 J. Descansaba sobre su lado derecho con la coronilla en contacto con la pared rocosa y la cara orientada hacia el sur. Apareció a pocos centímetros al norte del cráneo AR-153 y con la base en contacto también con la base del cráneo AR-157. El estado incompleto y fragmentario de sus elementos impide caracterizarlo morfométricamente. Presenta algunos fragmentos semiquemados en torno a bregma y a la sutura coronaria media del lado derecho, justamente en la zona de máximo contacto con la pared rocosa. Carece de patologías observables.

#### *AR-156*

Cráneo de un individuo juvenil (mayor de 16 y menor de 20 años) conservado de una pieza aunque extensamente fragmentado y astillado. Procede del nivel IV ( $z = -314$ ) del cuadro 15 L (rampa 6/7) y apareció colocado boca abajo (descansando sobre la coronilla), con la cara orientada hacia el este y la base hacia el techo de la cueva, perfectamente encajado en un hueco de la pared rocosa. No presenta lesiones patológicas observables.

#### *AR-157*

Cráneo de una mujer joven o madura ( $\pm 30-40$  años) conservado en un bloque fragmentado y astillado procedente del nivel IV ( $z = -287$ ) del cuadro 8 I (rampa 1) y remontado con pequeños fragmentos hallados en mismo nivel IV del cuadro anexo 7 I. Apareció colocado sobre su lado derecho con la cara orientada hacia el norte y la zona rinomaxilar fuertemente encajada en un recoveco de la pared rocosa mediante la presión ejercida por el cráneo AR-155, con el que estaba en contacto a través de su base. Los parámetros morfométricos observables y cuantificables sólo permiten caracterizarlo como un ejemplar doliocráneo, de contomo ovoide en norma superior y dotado de carena sagital. Presenta una deformación del contomo posterior de la bóveda manifestada en el hundimiento de la sutura lambdoidea y la sobre elevación de la escama del occipital. También se observa profusión de huesos wormianos y una reacción cicatrizada del periosteo en el 1/3 superior de la escama occipital y adyacente a las suturas lambdoideas. Por otra parte, cabe destacar la existencia de orificios fistulosos bilaterales a nivel del peñasco.

#### *AR-158*

Calota de un varón adulto, joven o maduro ( $\pm 26-45$  años), recuperada en un bloque muy fragmentario pero que mantenía sus estructuras en posición anatómica. Procede del nivel IV ( $z = -332$ ) del cuadro 14 L (rampa 6/7) y fue completada con un fragmento desarticulado pero hallado en sus inmediaciones. Descansaba sobre una repisa de la pared rocosa directamente sobre su coronilla y con la cara orientada hacia el sur. Apareció a escasos centímetros por debajo del conjunto de cráneos AR-142 y AR-140, estabilizado como ya se comentó anteriormente mediante piedras pequeñas. El estado fragmentario de sus elementos impide caracterizarlo morfométricamente, aunque sí es posible señalar la presencia de torus occipital. Nuevamente, la deformación de la bóveda advertida en este ejemplar puede atribuirse a los efectos tafonómicos de su colocación. Concretamente, presenta el parietal izquierdo hundido en su 1/3 anterolateral y la escama izquierda del occipital aplastada hacia atrás. Ambos rasgos encajan con la presión que ejercía el paquete sedimentario y la acumulación de cráneos ubicados por encima y a su derecha contra el "escalón" rocoso donde descansaba. Por otra parte, presenta orificios fistulosos bilaterales a nivel del peñasco posterolateral por encima del conducto auditivo.

#### *AR-159*

Cráneo con mandíbula asociada de un varón anciano (mayor de 50 años). El bloque craneal se conservaba de una pieza y procedía del nivel IV ( $z = -326$ ) del cuadro 15 L (rampa 6/7), mientras que la mandíbula fue hallada en el nivel IV del cuadro 13 J (rampa 4/5) y pudo asociarse posteriormente gracias a un peculiar patrón de sarro calcificado y de carácter unilateral. Apareció colocado sobre su base con la nuca ligeramente alzada y la cara orientada hacia el norte, perfectamente encajado en la pared de la roca por su lado izquierdo y calzado mediante piedras pequeñas. En contacto directo con su coronilla reposaba el cráneo del esqueleto articulado de una cabra doméstica que, curiosamente, ocupaba una posición central y a escasos centímetros de los cráneos AR-142 (ubicado al sur) y AR-147 (al norte). Morfológicamente, presenta un contomo elipsoide en norma superior y trazado parabólico de la arcada alveolar. Los índices métricos lo definen como un ejemplar mesocráneo, ortocráneo, tapeinocráneo, cameconco, leptorino y prognato. Entre las patologías observables cabe añadir 2 osteomas en placa en la escama izquierda del frontal, 2 erosiones craneales en el parietal derecho y una lesión traumática completamente cicatrizada en la región anterolateral del parietal izquierdo y lesiones artríticas en los cóndilos occipitales.

#### *AR-160*

Cráneo de un individuo joven o maduro ( $\pm 30-40$  años) de sexo probablemente masculino. Fue recuperado en un sólido bloque que conservaba todas sus articulaciones en el nivel IV ( $z = -330,5$ ) del cuadro 15 L (rampa 6/7). Descansaba sobre la región frontal, con la nuca en dirección hacia el techo y la base del cráneo en contacto con la pared rocosa. Estaba directamente por encima y en contacto con la región posterolateral derecha del cráneo AR-161. Presenta un contomo ovoide en norma superior y arcada alveolar de trazado parabólico. Los índices craneales obtenidos lo definen como un ejemplar doliocráneo, camecráneo, metriocráneo, eurieno, cameconco, leptorino y mesognato. Entre las patologías observables se registra un absceso apical a nivel de M1.

#### AR-161

Cráneo de una mujer madura ( $\pm 35-50$  años) conservado de una pieza aunque visiblemente deteriorado en su lado izquierdo procedente del nivel IV ( $z = -347$ ) del cuadro 15 L. Descansaba sobre su lado izquierdo, con la cara orientada hacia el sur y la coronilla en contacto con la pared rocosa, por debajo y en contacto directo con parte de la región facial del cráneo AR-160. Morfológicamente es posible observar la presencia de torus occipital, un contomo ovoide en norma superior y trazado upsiloide de la arcada alveolar. Los parámetros métricos cuantificables permiten describirlo como un ejemplar cameocráneo, mesoconco, platinino y mesognato. Presenta *cribra orbitalia* cicatrizada, pérdida *antemortem* de todos los molares excepto M1, tres pequeños osteomas en placa en la región posterior del parietal izquierdo y una lesión probablemente de etiología traumática, extensamente remodelada y de trazado oval, en la escama anterior derecha del frontal.

#### AR-162

Calota muy incompleta de un individuo alofiso maduro ( $\pm 35-50$  años) remontada a partir de fragmentos desarticulados procedentes de los niveles II y III de la rampa 1 del nivel III de la rampa 2/3. Carece de patologías observables.

#### AR-163

Calota incompleta de una mujer adulta (mayor de 20 años) remontada a partir de fragmentos muy alejados entre sí procedentes del nivel II de la rampa 1 y también del piso superior, concretamente de los niveles I y II del cuadro 14 F y del nivel IV del cuadro 10 C. Tanto la diferente coloración de los fragmentos de F respecto a los de S1 como la acción diferencial de los animales sobre los restos óseos (exclusivamente sobre los fragmentos del cuadro 14 F) indica que el cráneo se hallaba muy desarticulado ya en el piso superior y que en un momento avanzado del uso de la necrópolis un fragmento cayó a la fosa. Se detectan lesiones activas y cicatrizadas de *cribra orbitalis* en la órbita conservada.

#### AR-164

Calota de un varón maduro ( $\pm 35-50$  años) restituida a partir de fragmentos articulados de la bóveda posterior procedentes del nivel IV del cuadro 10 K (rampa 2/3) y fragmentos dispersos hallados en el nivel II de la rampa 1 y en los niveles III y IV de la rampa 2/3. A nivel morfológico es posible observar la presencia de carena sagital y torus occipital. En el apartado métrico son muy escasas las dimensiones cuantificables e impiden caracterizarlo a partir de índices craneales. Sin embargo, sí es posible distinguir en la escama posteromedial del parietal derecho una trepanación conservada en la mitad de su perímetro y practicada *in vivo* mediante la técnica de barrenado. Los bordes del orificio resultante, de trazado aproximadamente circular, cuentan con evidencias de regeneración ósea que demuestran la supervivencia de este hombre a la intervención.

#### AR-165

Esplacnocráneo de un individuo infantil fallecido en torno a los 3 años de edad con los huesos sólidamente articulados. Fue hallado en un recoveco de la pared rocosa en el nivel IV del cuadro 10-11 K (rampa 2/3) y, pese al excelente estado de conservación de toda la sutura coronaria, el remontaje ha resultado completamente estéril. La única patología observable consiste en *cribra orbitalia* de incidencia muy severa.

#### AR-166

Calota muy fragmentaria de un individuo infantil mayor de 2 años restituida a partir de elementos articulados de la bóveda procedentes del nivel IV del cuadro 9 I (rampa 1) y de fragmentos del frontal hallados en el nivel III de la rampa 2/3 y en el nivel IV de la rampa 4/5. Carece de patologías observables.

#### AR-167

Calota fragmentaria de un individuo subadulto (mayor de 6 y menor de 20 años) remontada a partir de dos fragmentos de la bóveda posterior que conservaban su posición anatómica y procedían del nivel IV del cuadro 10 J-K, mediante elementos desarticulados hallados íntegramente en el nivel IV del cuadro 10 K (rampa 2/3). Carece de patologías observables.

#### AR-168

Parte de la bóveda lateral e inferior de un individuo infantil fallecido antes de los 6 años restituida a partir de fragmentos desarticulados procedentes del nivel II de la covacha y del nivel IV de la rampa 4/5. Carece de patologías observables.

#### AR-169

Parte de la bóveda posterolateral izquierda de una mujer adulta joven o madura ( $\pm 20-50$  años), hallada de una pieza

encajonada en la pared rocosa, exactamente en el nivel IV ( $z = -256$ ) del cuadro 11 K (rampa 2/3). Carece de patologías observables.

*AR-170*

Bóveda de un individuo infantil menor de 2 años. El neurocráneo ha podido remontarse en prácticamente el 70 % a partir de elementos desarticulados procedentes de los niveles III y IV de la rampa 1 y del nivel III de la rampa 2/3. Presenta *cribra orbitalia* en la órbita conservada y periostitis endocraneal en los segmentos observables de la escama del temporal y del ala mayor del esfenoides.

*AR-171*

Calota muy fragmentaria de un individuo alofiso fallecido en edad adulta (mayor de 20 años). Ha sido restituida a partir de una treintena de pequeños elementos que en ningún caso observaban asociación anatómica y que proceden de los niveles I, II, III y IV de la covacha, II, III y IV de la rampa 6/7 y III y IV de rampa 4/5. El patrón de combustión observado en todos ellos ha facilitado en gran medida las tareas de remontaje. Carece de patologías observables.

*AR-172*

Calota fragmentaria de una mujer adulta joven ( $\pm 20-25$  a) reconstruido a partir de una docena de fragmentos desarticulados procedentes de los niveles I, II, III y IV de la rampa 1, III de la rampa 2/3 y III de la rampa 6/7. Presenta lesiones activas y cicatrizadas de *cribra orbitalia*.

*AR-173*

Calota fragmentaria de un individuo adulto (mayor de 20 años) probablemente de sexo femenino remontada a partir de elementos desarticulados procedentes del nivel IV de los cuadros 8 y 9 I (rampa 1). Carece de patologías observables.

*AR-174*

Calota fragmentaria de un individuo juvenil o adulto joven (mayor de 14 y menor de 35 años) remontada a partir de elementos desarticulados procedentes de los niveles III y IV de las rampas 4/5 y 6/7 y de los niveles II, III y IV de la covacha. La mayor parte de los fragmentos implicados presentan evidencias de combustión, circunstancia que ha facilitado el remontaje. En el surco transversal se observa un patrón de reabsorción ósea en forma de circunvalaciones.

*AR-175*

Restos fragmentarios de la calota de un individuo alofiso maduro ( $\pm 35-50$  años) remontada a partir de elementos desarticulados procedentes del nivel II de la covacha y de los niveles II y IV de la rampa 6/7. La mayor parte de los fragmentos implicados presentan evidencias de combustión e incluso calcinación, circunstancia que ha facilitado el remontaje. Se detecta un osteoma en placa en la escama posterior del frontal próximo a la línea media.

El perfil demográfico resultante de esta muestra, compuesta exclusivamente por cráneos (tabla 2.15), incluye todas las categorías de edad (gráfico 2.11) y representantes de ambos sexos (gráfico 2.12).

De cada tres cráneos remontados uno corresponde a individuos subadultos y, dentro de este grupo, destaca una notable proporción de niños/niñas (el 22,2% falleció con seguridad antes de los 12 años). Entre la población adulta, compuesta por sesenta y un individuos, el grupo más nutrido es el de los maduros (diecisiete con seguridad), seguido por el de jóvenes (diez) y a distancia del de ancianos (cuatro). Esta proporción se ve reforzada por el reparto de casos en las categorías compuestas, ya que el número de ejemplares que caen dentro del grupo joven/maduro (dieciocho) triplica al de las restantes. Por consiguiente, cabría estimar que alrededor de la mitad de la muestra representada por los cráneos corresponde a individuos maduros.

El número de bóvedas con información de carácter sexual asciende a cincuenta y seis (cincuenta y cinco individuos adultos y uno joven, entre 17 y 19 años). La proporción de mujeres es ligeramente superior a la de hombres, inclusive teniendo en cuenta las adscripciones probables.

**Frequency Distribution for Cat.Edad Split By: Sexo**

	Total Count	M Count	¿M? Count	H Count	¿H? Count	Indet Count
Infans I	5	0	0	0	0	5
Infans II	12	0	0	0	0	12
Infans sp	3	0	0	0	0	3
Juvenil	5	1	0	0	0	4
Subadulto	4	0	0	0	0	4
Ad.Joven	10	4	1	3	1	1
Ad.Maduro	17	3	2	6	2	4
Anciano	4	1	0	2	0	1
Ad.J/M	18	12	0	3	2	1
Ad.M/Ancia...	6	0	1	4	0	1
Adulto sp	6	2	1	0	1	2
Total	90	23	5	18	6	38

Tabla 2.15.

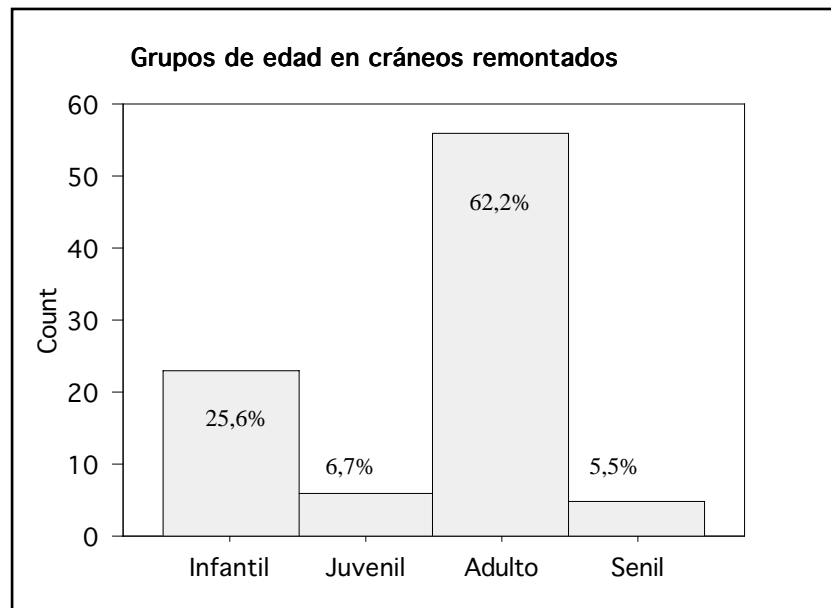


Gráfico 2.11.

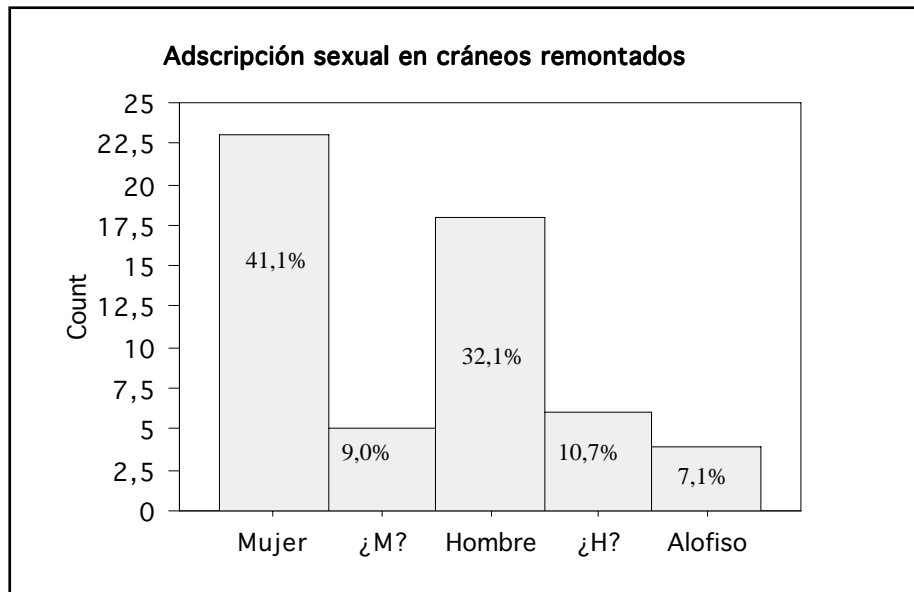


Gráfico 2.12.

Pese a la dificultad que entraña la valoración conjunta de categorías precisas (hombre, mujer) y absolutas (joven, maduro) con imprecisas (por ejemplo “¿H?”) y combinadas (por ejemplo, “adulto maduro/anciano”), la combinación de los dos parámetros demográficos básicos presenta matices interesantes. En el grupo femenino existe una preponderancia de mujeres jóvenes y maduras y muy pocas ancianas, mientras que entre los hombres los maduros son los más destacados y la proporción de ancianos o maduros/ancianos es notablemente mayor. En otras palabras, existen indicios para pensar que la esperanza de vida representada por la muestra de cráneos era ligeramente superior en hombres que en mujeres. Aunque tal proposición no pueda afirmarse con rotundidad, sí parece muy probable que las mujeres tenían menos posibilidades que los hombres de superar la quinta década de vida y que, en conjunto, fallecían algo más jóvenes.